

## การแสดงออกของอินดิวซิเบิลไนตริกออกไซด์ซินเตอส (inducible nitric oxide synthase, iNOS) และไซโคออกซิเจนสสอง (cyclooxygenase-2, COX-2) ผ่านเอ็นเอฟแแคฟปานี (NF-κB) ในโรคพยาธิใบไม้ตับ: การศึกษาจากสัตว์ทดลองไปสู่คน

---

บทคัดย่อ—การติดพยาธิ *Opisthorchis viverrini* (OV) เนี่ยวนำในเตรตีฟและออกซิเดทีฟดีเอ็นเอดามาต่อกระบวนการอักเสบเรื้อรังนำไปสู่การเกิดมะเร็งท่อน้ำดีในคน เพื่อพิสูจน์กลไกของพยาธิ OV เนี่ยวนำการตอบสนองต่อกระบวนอักเสบ เราจึงศึกษาการแสดงออกของอินดิวซิเบิลไนตริกออกไซด์ซินเตอส (inducible nitric oxide synthase, iNOS) เอ็นเอฟแแคฟปานี (NF-κB) ไซโคออกซิเจนสสอง (cyclooxygenase-2, COX-2) โกลไลรีเซฟเดอร์ แอนต์ออกซิแดซเอ็นไซม์ และอินเเฟมมาตอร์ไซด์ในคนใน (1) เชลล์มะเร็งแมคโครฟางชนิด RAW 264.7 ที่ถูกกระตุ้นด้วยแอนติเจนที่สกัดจากพยาธิ OV, ใน (2) ตับหนูแฮมสเตอร์ที่ให้พยาธิ OV ร่วมกับสารก่อมะเร็ง N-nitrosodimethylamine (NDMA) และใน (3) เชลล์เม็ดเลือดขาวของผู้ที่ติดพยาธิ OV กระตุ้นด้วยแอนติเจนที่สกัดจากพยาธิ OV

1) ในเชลล์มะเร็งแมคโครฟางชนิด RAW 264.7 ที่กระตุ้นด้วยแอนติเจนที่สกัดจากพยาธิ OV ผลการตรวจโดยวิธี flow cytometry และ immunocytochemistry แสดงว่าแอนติเจน OV เนี่ยวนำการแสดงออกของ TLR2 แต่ไม่ใช่ TLR4 ผลการตรวจโดยวิธี Western blotting และ immunocytochemistry พบว่า NF-κB, iNOS และ COX-2 ถูกแสดงออกในเชลล์แมคโครฟางชนิด RAW 264.7 ที่กระตุ้นด้วยแอนติเจนที่สกัดจากพยาธิ OV ตามความเข้มข้น จากผลที่พบนี้แนะนำว่าพยาธิ OV เนี่ยวนำการตอบสนองต่อกระบวนอักเสบผ่านทาง TLR2 เพื่อให้มีการแสดงออกของ NF-κB ไปเนี่ยวนำการแสดงออกของ iNOS และ COX-2

2) ในหนูแฮมสเตอร์ที่ป้อนด้วยพยาธิ OV ร่วมกับสารก่อมะเร็ง NDMA พยาธิ OV เสริมฤทธิ์กับสารก่อมะเร็ง NDMA เนี่ยวนำให้หนูเป็นมะเร็งท่อน้ำดี ผลการตรวจทางพยาธิชีสโตร์บว่าการติดพยาธิ OV อย่างเดียวเนี่ยวนำให้เกิดเนื้อเยื่อเกี่ยวพันรอบท่อน้ำดี ในขณะที่หนูกลุ่มที่ให้สารก่อมะเร็ง NDMA และ OV เสริมฤทธิ์ทำให้เกิดท่อน้ำดีขนาดเล็กและมะเร็งท่อน้ำดีที่ 6 เดือน ผลการตรวจโดยวิธี RT-PCR และ real-Time RT-PCR พบว่า OV ร่วมกับสารก่อมะเร็ง NDMA เสริมฤทธิ์เพิ่มการแสดงออกของจีน iNOS, NF-κB และ COX-2 สัมพันธ์กับกระบวนการเกิดมะเร็งท่อน้ำดี การแสดงออกจีน antioxidant enzymes เช่น Cu/Zn superoxide dismutase (SOD1), Mn SOD (SOD2), catalase (CAT) และ glutathione peroxidase (GPx) ลดลง ในขณะที่การแสดงออกของ iNOS และ COX-2 เพิ่มขึ้น แนะนำว่าเกิดภาวะ oxidative และ nitratative stress การสะสมของ Proliferative cell nuclear antigen (PCNA) ตัวบ่งชี้ของการแบ่งตัวของเซลล์ ในเยื่อบุผิวท่อน้ำดีและในเซลล์อักเสบสัมพันธ์กับการแสดงออกของจีนเหล่านี้ ผลการศึกษานี้แนะนำว่าการแสดงออกของ iNOS, NF-κB และ COX-2 เกี่ยวข้องกับผลของการเสริมฤทธิ์กันของสารก่อมะเร็ง NDMA และการติดพยาธิ OV ดังนั้นจีนเหล่านี้และผลผลิตของจีนอาจเป็น

ประโยชน์เพื่อใช้เป็นตัวป้องชีวะเสี่ยงการเป็นมะเร็ง  
ป้องกันการเกิดมะเร็งต่อไป

และอาจเป็นจีนเป้าหมายในการใช้สาร

3) ในเซลล์เม็ดเลือดขาวของคนที่ติดพยาธิ OV ที่ถูกกระดุนด้วยแอนติเจนที่สกัดจากพยาธิ OV ผลการตรวจโดยวิธี real-time RT-PCR พบว่าแอนติเจน OV เหนี่ยวนำการแสดงออกของจีน IL-1, TLR-2, NF- $\kappa$ B, COX-2, SOD2 และ CAT ในเซลล์เม็ดเลือดขาวของคนปกติ การแสดงออกของจีน IL-1, NF- $\kappa$ B, SOD2 เพิ่มขึ้นในระยะแรกที่ 6 ชั่วโมง หลังจากนั้นการแสดงออกของ TLR-2, COX-2 และ CAT เพิ่มขึ้นที่ 12 ชั่วโมงหลังการกระดุนด้วยแอนติเจนที่สกัดจากพยาธิ OV อัตราส่วนของการแสดงออกในระดับ mRNA ของ COX-2/CAT, prooxidant/antioxidant เพิ่ม 12 และ 26 เท่า เปรียบเทียบกับกลุ่มควบคุม ในเซลล์เม็ดเลือดขาวของคนที่ติดพยาธิ OV และกระดุนด้วยแอนติเจนที่สกัดจากพยาธิ OV พบว่าแบบแผนของการแสดงออกของจีนเหล่านี้คล้ายกับในคนปกติ ยกเว้นการแสดงออกของจีน TLR-2 เพิ่มขึ้นในระยะแรกที่ 6 ชั่วโมง หลังการกระดุนด้วยแอนติเจนที่สกัดจากพยาธิ OV น่าสนใจเป็นอย่างยิ่งว่า อัตราส่วนของการแสดงออกในระดับ mRNA ของ COX-2/CAT เพิ่มเป็น 140, 90, 30, และ 40 เท่า เปรียบเทียบกับกลุ่มควบคุม และสูงกว่าในคนปกติอย่างมีนัยสำคัญ ผลการศึกษานี้แนะนำว่าแอนติเจนของพยาธิ OV เหนี่ยวน้ำภาวะออกซิเดทีฟสเตรสมีผ่านการตอบสนองต่อกระบวนการอักเสบ ซึ่งอาจนำไปใช้สารป้องกันการเกิดมะเร็งในการติดพยาธิ OV ที่สัมพันธ์กับการเกิดมะเร็งท่อน้ำดี

**คำสำคัญ:** อินดิวิชิเบิลในตวิภาคไชร์ดซินเดรส ไชโคออกซิจิเนสสอง เอ็นเอฟแแคฟปาบี โกลไลรีเชฟ เดอร์สอง แอนติออกซิเดชเนอไซม์ อินเฟมมาดอร์ไชโดไอคัน พยาธิใบไม้ดับ *Opisthorchis viverrini*, สารในโครงไดเมทิลามีน มะเร็งท่อน้ำดี

## **Expression of inducible nitric oxide synthase (iNOS) and cyclooxygenase-2 (COX-2) via NF-κB in opisthorchiasis: from animal to human study**

---

**Abstract**— *Opisthorchis viverrini* (OV) infection induces nitrative and oxidative DNA damage through chronic inflammation, leading to cholangiocarcinoma (CCA) development in human. To clarify the mechanism of OV-induced inflammatory response, we investigated the expression of inducible nitric oxide synthase (iNOS), nuclear factor-kappaB (NF-κB), cyclooxygenase-2 (COX-2), Toll-like receptor (TLR), antioxidant enzymes, and inflammatory cytokine in (1) RAW 264.7 macrophage cell line treated with an extract of OV antigen, in (2) the liver of hamsters treated with OV and *N*-nitrosodimethylamine (NDMA) and in (3) white blood cell of OV-infected patient treated with an extract of OV antigen.

1) In RAW 264.7 macrophage cell line treated with an extract of OV antigen, flow cytometry and immunocytochemistry showed that OV antigen induced the expression of TLR2 but not TLR4. Western blotting and immunocytochemistry revealed that NF-κB, iNOS and COX-2 were expressed in RAW 264.7 cells treated with OV antigen in a dose-dependent manner. These results suggest that OV induces inflammatory response through TLR2-mediated pathway leading to NF-κB-mediated expression of iNOS and COX-2.

2) In the liver of hamsters treated with OV and NDMA, OV and NDMA synergistically induced CCA in hamsters. Histopathological examination revealed that OV infection alone induced fibrosis around bile duct, whereas NDMA and OV synergistically induced the formation of small bile ducts and CCA at 6 months. RT-PCR and real-Time RT-PCR showed that OV plus NDMA induced synergistically increased the expression of iNOS, NF-κB and COX-2 in relation to CCA development. Expression of genes of antioxidant enzymes, such as Cu/Zn superoxide dismutase (SOD1), Mn SOD (SOD2), catalase (CAT) and glutathione peroxidase (GPx) genes, was decreased, while the expression of iNOS and COX-2 increased, suggesting that oxidative and nitrative stress occurred. Proliferative cell nuclear antigen (PCNA) accumulation, indicating cell proliferation, in the bile duct epithelium and inflammatory cells was associated with the expression of these genes. These results suggest that the expression of iNOS, NF-κB and COX-2 is involved in the synergistic carcinogenic

effect of NDMA and OV infection. Therefore, these genes and their products may be useful biomarkers to evaluate the potential risk of development of tumor and the candidate genes for cancer chemoprevention.

3) In white blood cell (WBC) of OV-infected subjects treated with an extract of OV antigen, real-time RT-PCR revealed that OV antigen induced the expression of IL-1, TLR-2, NF- $\kappa$ B, COX-2, and SOD2, CAT mRNA in WBC of healthy subject. Expression of IL-1, NF- $\kappa$ B, SOD2 mRNA increased earlier at 6h and then expression of TLR-2, COX-2 and CAT genes increased at 12h post-treatment with an extract of OV antigen. The ratio of COX-2/CAT, prooxidant/antioxidant, mRNA expression increased 12- and 26-fold compared with untreated control. In WBC of OV-infected subjects treated with an extract of OV antigen revealed that expression profile of these genes were similar to healthy subjects, except TLR-2 gene increased earlier at 6h post-treatment with an extract of OV antigen. Interestingly, the ratio of COX-2/CAT mRNA expression increased 140, 90, 30, and 40-fold compared with untreated control and these levels were significantly higher than those of healthy subject. These results suggest that OV antigen induces oxidative stress through inflammatory response which may implicate for chemoprevention in OV infection-associated CCA development.

---

**Keywords**— inducible nitric oxide synthase, NF- $\kappa$ B, cyclooxygenase-2, Toll-like receptor-2, antioxidant enzymes, inflammatory cytokine, *Opisthorchis viverrini*, *N*-nitrosodimethylamine, cholangiocarcinoma

## สรุปโครงการวิจัย (Executive Summary)

---

### 1. ความสำคัญและที่มาของปัญหา

โรคพยาธิใบไม้ดับ (*Opisthorchiasis*) ที่เกิดจากการติดพยาธิใบไม้ดับ (*Opisthorchis viverrini*; OV) และโรคมะเร็งท่อน้ำดีพบมากที่สุดที่ภาคตะวันออกเฉียงเหนือของประเทศไทย มีหลักฐานจากการศึกษาทั้งในด้านระบบวิทยาและในสัตว์ทดลองมากมายที่แสดงว่า การติดพยาธิใบไม้ดับ OV เป็นปัจจัยเสี่ยงต่อการเกิดโรคมะเร็งท่อน้ำดี ในปัจจุบันแม้ว่าความชุกของพยาธิใบไม้ดับมีแนวโน้มลดลงตามลำดับแต่ความชุกนี้ก็ยังคงสูงอยู่ ดังนั้นจึงส่งผลให้โรคมะเร็งท่อน้ำดียังคงเป็นปัญหาสำคัญในภูมิภาคนี้ ถึงแม้กลไกการเกิดโรคมะเร็งท่อน้ำดีที่สัมพันธ์กับการติดพยาธิใบไม้ดับยังไม่ทราบแน่ชัดแต่ก็มีหลักฐานชัดเจนว่าพยาธิสภาพที่เกิดขึ้นสัมพันธ์กับระบบภูมิคุ้มกันของร่างกาย ในชุมชนส่วนใหญ่พบว่ามีการติดเชื้อพยาธิซ้ำๆ ซึ่งจะกระตุ้นภูมิคุ้มกันให้เกิดการตอบสนองของเซลล์อักเสบอย่างรวดเร็วและเกิดพยาธิสภาพรุนแรงขึ้นตามลำดับของความถี่ในการติดพยาธิ โดยจะส่งผลให้เกิดการบาดเจ็บของตีอีนเอ ทั้งจากการบวนการออกซิเดชันและในเดรชันเพิ่มมากขึ้นในหมู่ที่ติดพยาธิซ้ำๆ มากกว่าหมู่ที่มีการติดพยาธิครั้งเดียว และมีการสร้างสารในตระกูลออกไซด์ (nitric oxide; NO) ผ่านการแสดงออกของเอนไซม์อินดิวซิเบิลในตระกูลออกไซด์ซินเตส (inducible nitric oxide synthase: iNOS) การบาดเจ็บของตีอีนเอที่พบนี้ไม่ได้พบเฉพาะที่เซลล์เยื่อบุผิวของท่อน้ำดี แต่ยังสามารถพบได้ที่เซลล์อักเสบหรือเซลล์เม็ดเลือดขาว

ปัจจุบันเป็นที่ทราบแล้วว่า กระบวนการอักเสบโดยผ่านเซลล์อักเสบมีความสัมพันธ์กับการเกิดโรคหลายชนิดรวมทั้งโรคมะเร็ง เนื่องจากมีการสร้างสารอนุมูลอิสระชนิดออกซิเจนและในตระกูล เซ่น ในตระกูลออกไซด์ เพิ่มขึ้นและอนุมูลอิสระเหล่านี้จะไปทำให้เกิดการเปลี่ยนแปลงของตีอีนเอตามมา การสะสมของตีอีนเอที่ผิดปกติสามารถนำไปสู่การกลایพันธุ์ ถ้าการกลัยพันธุ์นี้เกิดกับจีนกระดุนหรือจีนยับยั้งก็สามารถกลัยเป็นมะเร็งในที่สุดได้ จะนั้นจึงมีการตรวจวัดหารอยบาดเจ็บของตีอีนเอเพื่อตรวจหาความสัมพันธ์ในการดำเนินโรค โดยสามารถตรวจวัดได้ในเซลล์ทั่วๆไป เช่น เซลล์เม็ดเลือดขาว นอกจากนี้เซลล์เม็ดเลือดขาวและพยาธิใบไม้ดับเองยังได้จัดเป็นสารก่อมะเร็งชนิดที่หนึ่งที่สามารถเห็นได้ ดังนั้นจึงนำสารไปเป็นอย่างยิ่งว่าพยาธิเห็นได้ให้เกิดการสร้างสารอนุมูลอิสระชนิด NO โดยผ่านการแสดงออกของ iNOS ได้อย่างไรหรือผ่านกลไกอะไร จนเกิดการเปลี่ยนแปลงของตีอีนเอ ซึ่งอาจจะเป็นไปได้ว่าความผิดปกติของตีอีนเอไม่เฉพาะที่เยื่อบุผิวท่อน้ำดีอาจรวมทั้งเซลล์เม็ดเลือดขาวที่ผิดปกติ อาจจะเป็นจุดเริ่มต้นในการเกิดมะเร็งต่อไป เนื่องจากเซลล์เม็ดเลือดขาวเองมีบทบาทสำคัญในการป้องกันและต่อต้านเชื้อโรคผ่านการแสดงออกของไซโตโคนฟลายชนิด และการแสดงออกของจีนหรือการตอบสนองต่อแอนติเจน

เดิมของเม็ดเลือดขาวน่าจะแตกต่างกัน ตามระดับความรุนแรงของพยาธิสภาพหรือระบบภูมิคุ้มกันของแต่ละคน

ปกติแล้วแอนติเจนของพยาธิโดยทั่วไป สามารถกระตุ้นให้มีการสร้างอนุมูลอิสระ NO โดยผ่าน Toll-like receptor 2 และทรานส์คิวบ์ชันแฟคเตอร์ NF-KB แล้วมีการสร้าง iNOS และ cyclooxygenase-2 (COX-2) การแสดงออกของ iNOS เพิ่มขึ้นสามารถสร้างอนุมูลอิสระชนิด NO แล้วส่งผลให้เกิดตีอีนเอเปลี่ยนแปลงไป เช่น 8-nitroguanine ดังที่เราเคยรายงานแล้ว และเห็นได้จากการแสดงออกของ COX-2 นอกจากนี้ iNOS และ COX-2 ยังสามารถหนึ่งที่ทำให้เกิดกระบวนการอักเสบผ่าน pro-inflammatory cytokines ต่างๆ เช่น TNF- $\alpha$  และ COX-2 ยังแสดงออกมากในผู้ป่วยมะเร็งท่อน้ำดีด้วย จึงเป็นที่น่าสนใจเป็นอย่างยิ่งว่าแอนติเจนของพยาธิใบไม้ตับสามารถกระตุ้นให้เกิดการสร้าง NO จนทำให้ตีอีนเอเปลี่ยนแปลงไป ผ่านการแสดงออกของ NF-KB, COX-2, iNOS และ Toll-like receptor หรือไม่ และการแสดงออกของจีนเหล่านี้สัมพันธ์กับพยาธิสภาพที่เกิดขึ้นหรือการดำเนินไปของพยาธิสภาพที่ผิดปกติของระบบห่อน้ำดีและสัมพันธ์กับโรคพยาธิใบไม้ตับจนเปลี่ยนแปลงเป็นมะเร็งห่อน้ำดีหรือไม่ ซึ่งในปัจจุบันก็มีหลักฐานชัดเจนแล้วว่า การแสดงออกของจีน NF-KB สัมพันธ์กับการดำเนินของโรคมะเร็งกระเพาะอาหารที่เกิดจากการติดเชื้อ *Helicobacter pylori* และการแสดงออกของ COX-2 ก็สัมพันธ์กับการดำเนินของโรคมะเร็งลำไส้ใหญ่ มะเร็งเต้านม เป็นต้น ดังนั้น NF-KB และ COX-2 จึงเป็นเป้าหมายของการใช้สารยับยั้งในการป้องกันการเกิดมะเร็ง (cancer chemoprevention) ได้ด้วย ซึ่งถ้าเราสามารถพิสูจน์ให้เห็นจริงว่า การแสดงออกของจีนเหล่านี้สัมพันธ์กับการเกิดพยาธิสภาพหรือการดำเนินการของโรคในผู้ป่วยจริงและทราบกลไกนี้แล้ว อาจจะใช้สารยับยั้งการควบคุมการแสดงออกของจีนได้ เพื่อป้องกันความผิดปกติของตีอีนเออันเป็นการป้องกันการเกิดมะเร็งได้อีกทางหนึ่ง

โครงการนี้ เป็นส่วนหนึ่งในโครงการที่คณะผู้วิจัยกำลังดำเนินอยู่ร่วมกับคณะวิจัยจากกระทรวงสาธารณสุขในการศึกษาและติดตามผลของผู้ป่วยที่เคยมีประวัติการติดพยาธิใบไม้ตับ และมีความผิดปกติของระบบห่อน้ำดีในภาคตะวันออกเฉียงเหนือ นอกจากนี้โครงการนี้ยังเป็นโครงการที่เชื่อมต่อกับโครงการที่ นักวิจัยที่ปรึกษาของผู้วิจัยเองจะทำต่อไป ใน การตรวจระดับสารอนุชีวโมเลกุลในตีอีนเอของผู้ป่วยที่มีความผิดปกติของระบบห่อน้ำดีและผู้ป่วยมะเร็งห่อน้ำดี ดังนั้น โครงการนี้ไม่เพียงแต่จะเป็นประโยชน์ในการตอบคำถามกลไกในการเกิดการบาดเจ็บของตีอีนเอที่สัมพันธ์กับการเกิดมะเร็งห่อน้ำดีและการติดพยาธิใบไม้ตับ แต่ยังเป็นประโยชน์ในการเชื่อมต่อกับระดับของสารอนุชีวโมเลกุลในตีอีนเอที่จะทำการตรวจวัดในผู้ป่วยที่มีความผิดปกติของระบบห่อน้ำดีและเป็นโรคพยาธิใบไม้ตับรวมถึงผู้ป่วยมะเร็งห่อน้ำดี อันจะเป็นประโยชน์ในการตรวจคัดกรองกลุ่มเสี่ยงที่จะเกิดมะเร็งห่อน้ำดีได้ หรือตรวจหามะเร็งในระยะแรกได้ซึ่งเป็นการลดอุบัติการณ์ของโรคมะเร็งห่อน้ำดีได้อีกทางหนึ่ง และยังสามารถนำผลจากการศึกษาในครั้งนี้ไปเลือกใช้สารยับยั้งการเกิดมะเร็งต่อไป โดยการศึกษาในปีงบประมาณ 2548 จะศึกษาในสัตว์ทดลองโดยตรวจวัดการแสดงออกของ iNOS, NF-KB และ COX-2 สัมพันธ์กับพยาธิสภาพที่เกิดจากโรคพยาธิใบไม้ตับจนกล้ายเป็นมะเร็งห่อน้ำดีและกระบวนการของเซลล์ยักเสบหรือเมื่อย่างไร ส่วนในการศึกษาในปีงบประมาณ 2549 จะศึกษาในผู้ป่วยที่ติดพยาธิใบไม้ตับ และมีพยาธิสภาพของระบบห่อน้ำดี

แตกต่างกันที่สัมพันธ์กับการติดพยาธิใบไม้ดับรวมทั้งในผู้ป่วยมะเร็งท่อน้ำดี โดยใช้แอนติเจนของพยาธิใบไม้ดับกระดุนในเซลล์เม็ดเลือดขาวของประชากรที่ศึกษา และถ้าโครงการนี้สำเร็จ ทางคณะผู้วิจัยจะศึกษาถึงผลของการใช้สารยับยั้งการแสดงออกของเอนไซม์เหล่านี้ต่อ ดีเอ็นเอทั้งในสัตว์ทดลองและในผู้ป่วย ในปี 2550 และ 2551 ต่อไป อนึ่งผู้วิจัยได้เชิญ Prof. Shosuke Kawanishi จากมหาวิทยาลัยมิยะ ประเทศญี่ปุ่นมาเป็นที่ปรึกษาร่วมจากต่างประเทศ เนื่องจากเป็นผู้ที่มีความชำนาญในการวิจัยด้านการเกิดออกซิเดชันและไนเตรชัน จากอนุมูลอิสระต่อสารชีวโมเลกุลโดยเฉพาะต่อดีเอ็นเอ เป็นผู้ให้คำปรึกษาในการทำวิจัยในครั้งนี้ ร่วมกับผู้วิจัยจากมหาวิทยาลัยไทย

## 2. วัตถุประสงค์

- 2.1 เพื่อศึกษาและพิสูจน์ให้เห็นว่า พยาธิใบไม้ดับสามารถกระดุนการสร้างอนุมูลอิสระชนิด NO มีการแสดงออกของจีน (inducible nitric oxide synthase: iNOS) และ cyclooxygenase-2 (COX-2) และเอ็นเอฟแคนฟปานี (NF-KB) ซึ่งการแสดงออกของจีนเหล่านี้สัมพันธ์กับการดำเนินไปของโรคกระหังกล้ายเป็นโรคมะเร็งท่อน้ำดีหรือไม่อย่างไร
- 2.2 เพื่อศึกษาการสร้าง NO และการแสดงออกของจีนและโปรตีน iNOS, NF-KB, COX-2 และ Toll-like receptor 2 ในเซลล์เม็ดเลือดขาวที่ถูกกระดุนด้วยแอนติเจนของพยาธิใบไม้ดับจากประชากรที่มีพยาธิสภาพของระบบห่อน้ำดีแตกต่างกัน โดยตรวจคัดกรองด้วยวิธีอัลตราซาวนด์ และการติดพยาธิใบไม้ดับทั้งในอดีตและปัจจุบัน ในประชากรสามกลุ่มคือ กลุ่มคนปกติ กลุ่มผู้ที่เป็นโรคพยาธิใบไม้ดับ และกลุ่มผู้ป่วยมะเร็งท่อน้ำดี เพื่อศึกษาดูการแสดงออกของจีนหรือโปรตีนและการสร้างอนุมูลอิสระชนิด NO ในประชากรแต่ละกลุ่มที่ศึกษาต่างกันหรือไม่อย่างไร

## 3. ระเบียบวิธีวิจัย

- 3.1 ศึกษาในสัตว์ทดลอง กระดุนหนูด้วยพยาธิใบไม้ดับและสารก่อมะเร็งเพื่อให้มีพยาธิสภาพแตกต่างกันจนกระหังหนูเกิดมะเร็งห่อน้ำดีโดยแบ่งหนูเป็น 4 กลุ่ม 1) หนูปกติ 2) ป้อนด้วยพยาธิ OV อย่างเดียว 3) ให้สารก่อมะเร็ง N-nitrosodimethylamine (NDMA) อย่างเดียว และ 4) ให้ร่วมกันหั้งสองชนิด แล้วผ่าหนูในระยะเวลาต่างๆ เช่น หนึ่งเดือน สามเดือน และหกเดือน (จนกระหังหนูกล้ายเป็นมะเร็งห่อน้ำดี ประมาณ 6 เดือน) แล้วตรวจวัดการแสดงออกของจีนในระดับ mRNA และ/หรือระดับโปรตีนของเอนไซม์ iNOS, NF-KB และ COX-2 ในเนื้อยื่อตับ รวมทั้งวัดระดับการสร้างสารอนุมูลอิสระ NO ในรูปของไนเตรต/ไนตริโนเลือดหรือในเนื้อยื่อตับ โดยศึกษาเปรียบเทียบกับการเปลี่ยนแปลงทางพยาธิวิทยา
- 3.2 ศึกษาในเซลล์เม็ดเลือดขาวของผู้ป่วยโดยทำการศึกษาดังนี้

การออกแบบการทดลอง จากประชากรหั้งหมัดที่ทำการศึกษาวิจัย แบ่งเป็นสามกลุ่ม ตามความรุนแรงของโรค แต่ละกลุ่มจะสุ่มเลือกมากลุ่มละ 3-5 ตัวอย่าง ประกอบด้วย 1) กลุ่มคนปกติและมีระบบห่อน้ำดีปกติไม่ติดพยาธิใบไม้ดับทั้งในอดีตและปัจจุบัน 2) กลุ่มผู้ป่วยที่ติด

พยาธิใบไม้ดับในความหนาแน่นของพยาธิระดับต่างๆ และมีความผิดปกติของระบบท่อน้ำดีระดับต่างๆ กัน และ 3) กลุ่มผู้ป่วยมะเร็งท่อน้ำดี จากประชากรทั้งสามกลุ่มจะเก็บเลือดแล้วแยกเซลล์เม็ดเลือดขาวทั้งหมดแล้วนำมากระตุนด้วยแอนติเจนของพยาธิใบไม้ดับ ในระยะเวลาและความเข้มข้นที่เหมาะสม แล้วตรวจการสร้าง NO โดยอาชัย Griess' reaction ตรวจการแสดงออกของ iNOS, NF-KB และ COX-2 โดยจะวัดการแสดงออกในระดับ mRNA โดยเทคนิค real-time PCR และตรวจการแสดงออกของโปรตีนโดยวิธี immunocytochemistry โดยทำปฏิกิริยากับแอนติบอดีที่จำเพาะต่อโปรตีน TLR2, iNOS, NF-KB และ COX-2

### 3.3 เทคนิคที่ใช้ศึกษา

1) การศึกษาในสัตว์ทดลอง จัดซื้อปลาจากแหล่งรวมของพยาธิใบไม้ดับ ย่อยปลา เก็บรวบรวมระยีดต่อของพยาธิ แล้วป้อนหมูด้วยระยีดต่อของพยาธิ (metacercaria) ตัวละ 50 metacercaria ร่วมกับสารก่อมะเร็ง (NDMA) เลี้ยงหมูไว้และแบ่งเป็นกลุ่มตามระเบียบ วิธีวิจัย ฝ่าหมูตามระยะเวลาที่กำหนด เก็บเลือดและตับ ตัวอย่างเลือดจะทำการตรวจวัดระดับการสร้างสารอนุมูลอิสระชนิด NO โดยวัดในรูปของไนเตรต/ไนโตรโดยอาชัยปฏิกิริยา Griess' reaction ส่วนตัวอย่างเนื้อเยื่อดับ (โดยเฉพาะบริเวณรอบท่อน้ำดีที่เกิดการอักเสบ) จะแบ่งออกเป็นสามส่วนเท่าๆ กัน และทำการตรวจดังนี้ 1) จุ่มในน้ำยาแซ่ RNA และเก็บไว้ที่ -80°C เพื่อนำมาสกัด mRNA เพื่อวัดปริมาณ mRNA ของ iNOS, NF-KB และ COX-2 โดยอาชัยเทคนิค real-time PCR 2) จุ่มในไนโตรเจนเหลว แล้วเก็บไว้ที่ -80°C เพื่อนำมาตรวจปริมาณโปรตีนของ iNOS, NF-KB และ COX-2 โดยวิธี Western blotting เนื้อเยื่อดับจะถูก homogenate วัดความเข้มข้นของปริมาณโปรตีนแล้ว run electrophoresis ถ่ายโปรตีนลงเมมเบรน แล้วทำปฏิกิริยากับแอนติบอดีที่จำเพาะต่อโปรตีน iNOS, NF-KB และ COX-2 แล้ววัดสัญญาณด้วย chemiluminescence 3) เนื้อเยื่อส่วนที่สามจะนำมาแซ่ใน 10% neutral formalin เพื่อทำ tissue embedding ตัดชิ้นเนื้อ (tissue section) แล้วนำชิ้นเนื้อมาตรวจด้วยเทคนิค immunohistochemistry โดยจะย้อมด้วยแอนติบอดีที่จำเพาะต่อโปรตีน iNOS, NF-KB และ COX-2 ตรวจวัดสีโดยอาชัย peroxidase หรือ fluorescence ต่อไป tissue section บางส่วนจะนำมาย้อมสี hematoxylin and eosin เพื่อตรวจการเปลี่ยนแปลงทางพยาธิสภาพและการดำเนินของโรค (เนื่องจากไม่มีแอนติบอดีต่อ TLR2 ที่ทำปฏิกิริยาได้ในหมูแฮมสเตอร์ ดังนั้นจึงไม่ทำการตรวจ TRL2) ในการศึกษาในสัตว์ทดลอง ส่วนการศึกษา NF-KB ที่แสดงว่ามีการ transactivation จาก cytoplasma เข้าจับกับ promoter region ในนิวเคลียส จะตรวจโดยการ localization โดยเทคนิค immunohistochemistry แทนวิธี Electrophoretic mobility shift assay: EMSA)

2) การศึกษาในเซลล์เม็ดเลือดขาวที่ถูกกระตุนด้วยแอนติเจนของพยาธิใบไม้ดับ จัดซื้อปลาจากแหล่งรวมของพยาธิใบไม้ดับ ย่อยปลา เก็บรวมรวมระยีดต่อของพยาธิ

แล้วป้อนหนูด้วยระยะติดต่อของพยาธิ (metacercaria) ตัวละ 100 metacercaria เลี้ยงหนูไว้ 3 เดือน นำหนูเก็บรวบรวมพยาธิมาเพาะเลี้ยงเพื่อเตรียม excretory secretory antigen นำแอนติเจนมากระตุ้นกับเซลล์เม็ดเลือดขาวทั้งหมดกับประชากรที่ศึกษา โดยใช้ความเข้มข้นและระยะเวลาที่เหมาะสม เก็บสารอาหารที่เลี้ยงเซลล์เพื่อนำมาตรวจวัดระดับการสร้างสารอนุมูลิสระชนิด NO โดยวัดในรูปของไนเตอร์/ไนโตร อัศัยปฏิกิริยา Griess' reaction เก็บเซลล์เม็ดเลือดขาวที่ถูกกระตุ้นด้วยแอนติเจนของพยาธิ แช่ในน้ำยา RNA แล้วเก็บไว้ที่ -80°C เพื่อนำมาสักด้า mRNA และทำการตรวจวัดการแสดงออกของ TLR2, iNOS, NF-KB และ COX-2 โดยอาศัยเทคนิค real-time PCR เซลล์บางส่วนจะนำไปตรวจโปรตีนเหล่านี้ด้วยวิธี immunocytochemistry โดยทำปฏิกิริยากับแอนติบอดีที่จำเพาะต่อโปรตีน TLR2, iNOS, NF-KB และ COX-2 และตรวจวัดสีโดยอาศัย peroxidase หรือสารเรืองสี fluorescence

3.4 สกิดิที่ใช้วิเคราะห์ ข้อมูลที่ได้ทั้งหมดจะนำมาวิเคราะห์ด้วยคอมพิวเตอร์ โปรแกรม STATA version 6.0 และ SPSS version 10.0 เปรียบเทียบค่าเฉลี่ย mean ของประชากรสองกลุ่ม ใช้ student pair T-test ทดสอบเปรียบเทียบ 3 กลุ่มใช้ Anova analysis

#### 4. แผนการดำเนินงานวิจัยตลอดโครงการในแต่ละช่วง 6 เดือน

กิจกรรม	ปีที่ 1		ปีที่ 2	
	เดือนที่ 1-6	7-12	1-6	7-12
1. ย่อยปลาและเก็บ metacercaria, infect หนู เลี้ยงหนู นำหนูเก็บตัวอย่าง	↔			
2. ป้อนพยาธิให้หนู เลี้ยงหนู เก็บพยาธิ เตรียมแอนติเจน	↔			
3. ทดสอบในสัตว์ทดลอง	↔			
4. ตรวจวิเคราะห์ รายงานผล	↔			
5. สรุปผลและจัดทำรายงานวิจัย		↔		
6. ตรวจแยกผู้ป่วย			↔	
7. เก็บเลือดและเพาะเลี้ยง			↔	
8. ตรวจวิเคราะห์ รายงานผล			↔	
9. สรุปผลและจัดทำรายงานวิจัย			↔	

#### 5. ผลงาน/หัวข้อเรื่องที่คาดว่าจะตีพิมพ์ในการสารวิชาการระดับนานาชาติในแต่ละปี

ปีที่ 1: ชื่อเรื่องที่คาดว่าจะตีพิมพ์ : Expression of NF-KB, iNOS and COX-2 associated

with the progression of cholangiocarcinoma development in animal model

ชื่อวารสารที่คาดว่าจะตีพิมพ์ : Carcinogenesis มีค่า impact factor = 5.405

ปีที่ 2: ชื่อเรื่องที่คาดว่าจะตีพิมพ์: Expression of NF-KB, iNOS and COX-2 through TLR-2 association with the severity of opisthorchiasis-induced the hepatobiliary disease

ชื่อวารสารที่คาดว่าจะตีพิมพ์ : Cancer Research มีค่า impact factor = 8.318

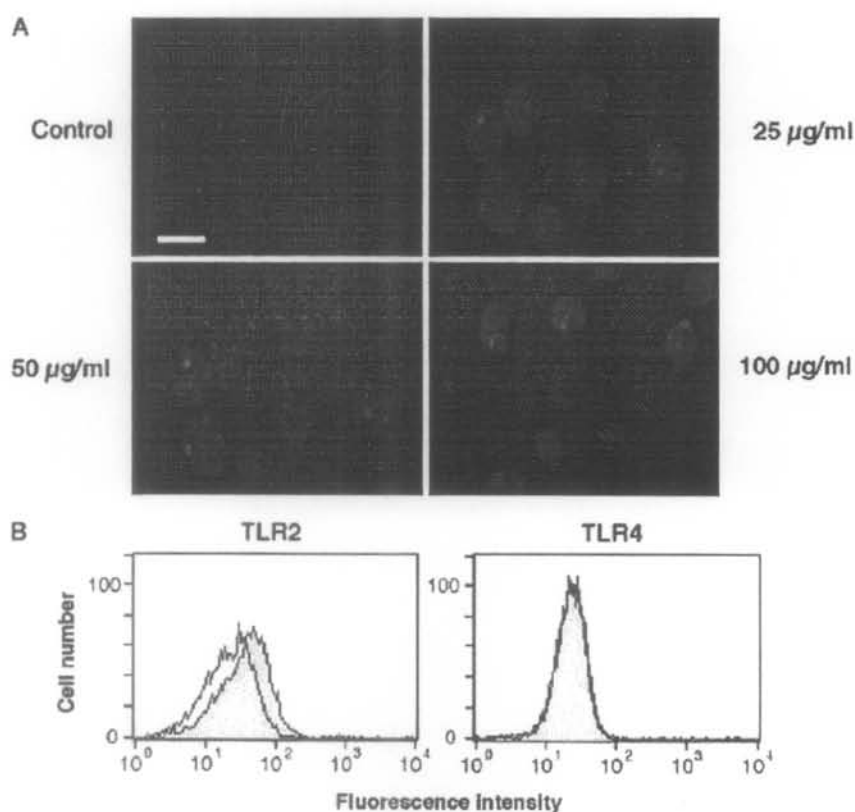
## 6. งบประมาณโครงการ (ตามระยะเวลาโครงการที่ได้เสนอรับทุน)

หมวด	ปีที่ 1	ปีที่ 2	รวม
1. หมวดค่าตอบแทน - ค่าตอบแทนหัวหน้าโครงการ	120,000	120,000	240,000
2. หมวดค่าวัสดุ - ค่าน้ำยาเคมีสำหรับย่อยปลา เช่น pepsin, NaCl และ HCl - antibody TLR2, iNOS, NF-KB, COX-2 - peroxidase conjugate - น้ำยาและอุปกรณ์สำหรับตรวจวิธี H&E stain และ immunohistochemistry - ชุดน้ำยาสกัด RNA - ค่าวัสดุอุปกรณ์ในสำนักงาน - น้ำยาตรวจโดยวิธี Real-time PCR - น้ำยาตรวจโดยวิธี Western-blotting - น้ำยาตรวจระดับการสร้าง NO	90,000	90,000	180,000
3. หมวดค่าใช้สอยและอื่นๆ - ค่าถ่ายเอกสารและสืบค้นสารสนเทศ - ค่าสังเคราะห์นิวคลีโอไทด์และค่าโคลนเจ็น - ค่าอกราสเตอร์ ติดกับต่างประเทศ และสำนักพิมพ์ - ค่าเดินทางไปเสนอผลงานและรายงานความก้าวหน้า - ค่าจ้างออกไปเชือปลา - ค่าจ้างเหมาจ่ายผู้ช่วยวิจัย 5 คน เพื่อย่อยปลา หาและเก็บรวบรวม metacercaria จำนวน 4 คน และคนเลี้ยงหมูอีก จำนวน 1 คน - ค่าจ้างเหมาจ่ายผู้ช่วยล้างอุปกรณ์ในห้องปฏิบัติการ - ค่าจ้างพิมพ์รายงาน	30,000	30,000	60,000
รวมงบประมาณโครงการ	240,000	240,000	480,000

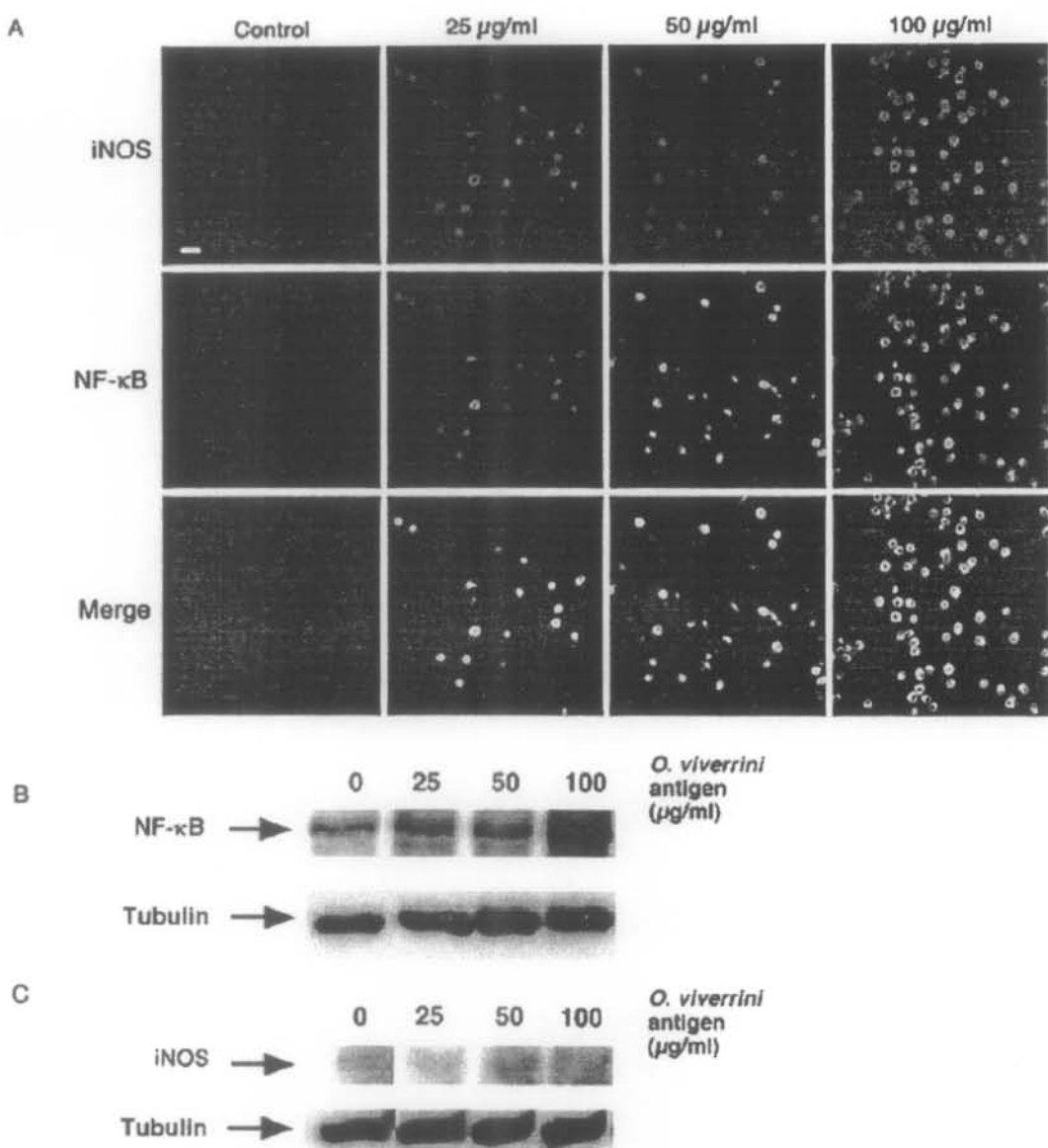
## เนื้อหางานวิจัย

### การวิจัยนี้แบ่งออกเป็น 3 ส่วน ดังนี้

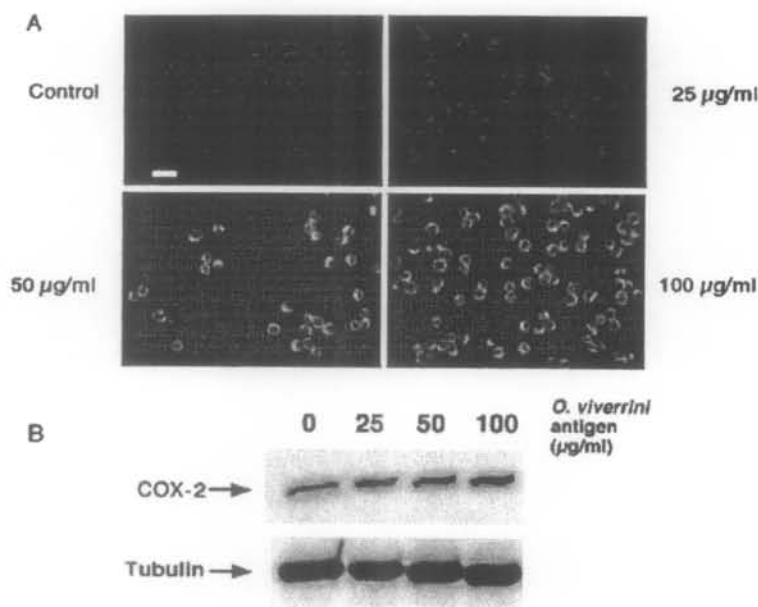
1. การเพาะเลี้ยง RAW 264.7 macrophage cell line ถูกกระตุ้นด้วย แอนติเจนที่สกัดจากพยาธิ OV โดยจากการแสดงออกของ TLR2 และ TLR4 โดยวิธี flow cytometry และ immunocytochemistry จากการแสดงออกของ NF- $\kappa$ B และ iNOS โดยวิธี double immunofluorescence และ Western blotting และจากการแสดงออกของ COX-2 โดยวิธี Western blotting และ immunocytochemistry ในเซลล์มะเร็งเม็ดครอฟ่าชนิด RAW 264.7 ที่กระตุ้นด้วยแอนติเจนที่สกัดจากพยาธิ OV ผลการตรวจโดยวิธี flow cytometry และ immunocytochemistry แสดงว่าแอนติเจน OV เนี่ยน้ำการแสดงออกของ TLR2 แต่ไม่ใช่ TLR4 ผลการตรวจโดยวิธี Western blotting และ immunocytochemistry พบว่า NF- $\kappa$ B, iNOS และ COX-2 ถูกแสดงออกในเซลล์มะเร็งเม็ดครอฟ่าชนิด RAW 264.7 ที่กระตุ้นด้วยแอนติเจนที่สกัดจากพยาธิ OV ตามความเข้มข้น จากผลที่พบนี้สรุปว่าพยาธิ OV เนี่ยน้ำการตอบสนองต่อกระบวนการอักเสบผ่านทาง TLR2 เพื่อให้มีการแสดงออกของ NF- $\kappa$ B ไปเห็นน้ำการแสดงออกของ iNOS และ COX-2 ผลการศึกษาสรุปได้ดังแสดงในรูปภาพดังนี้



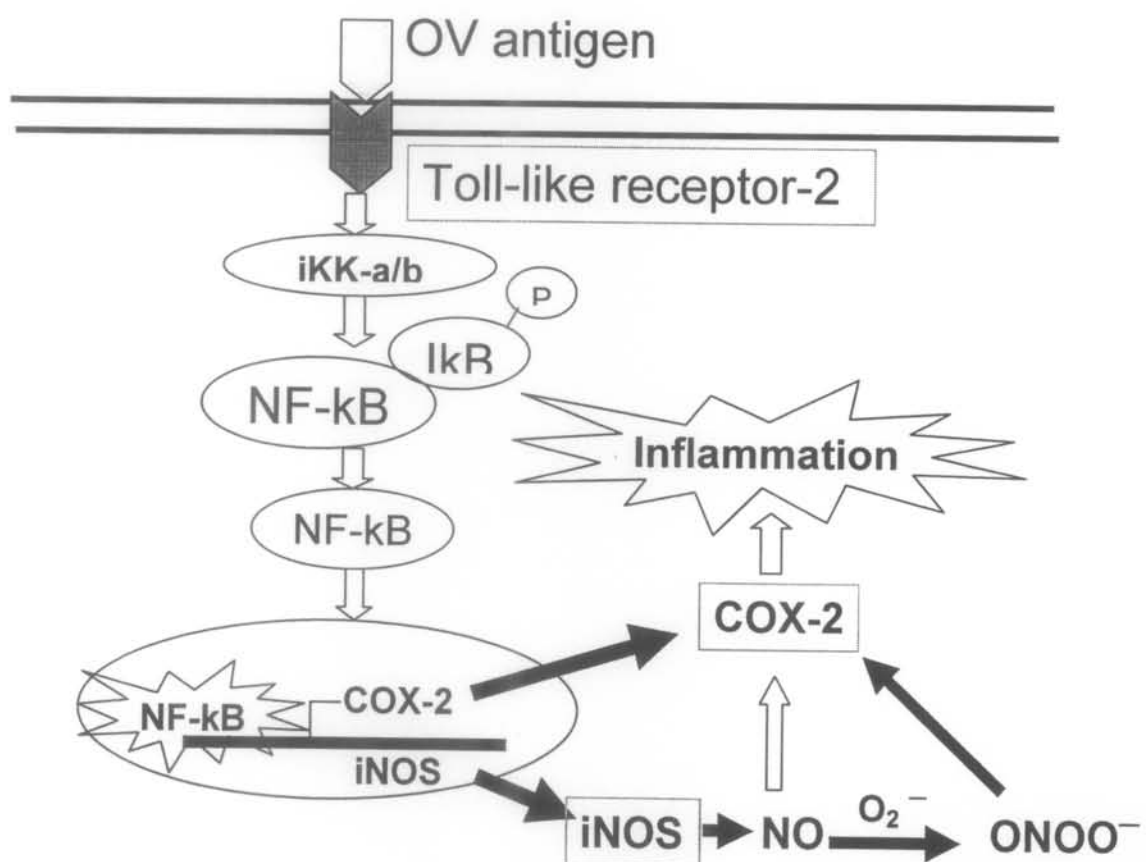
รูปภาพที่ 1 การแสดงออกของ TLR ใน RAW 264.7 macrophage cell line ถูกกระตุ้นด้วย แอนติเจนที่สกัดจากพยาธิ OV (A) immunohistochemistry ย้อมด้วย anti-TLR-2 antibody และ (B) flow cytometry ย้อมด้วย anti-TLR-2 หรือ anti-TLR-4 antibody



รูปภาพที่ 2 การแสดงออกของ iNOS และ NF- $\kappa$ B ใน RAW 264.7 macrophage cell line ถูกกระตุ้นด้วย แอนติเจนที่สกัดจากพยาธิ OV (A) double immunofluorescence ย้อมด้วย anti-iNOS และ anti-NF- $\kappa$ B antibodies และ (B) Western blotting of NF- $\kappa$ B (C) Western blotting of iNOS เปรียบเทียบกับ tubulin



รูปภาพที่ 3 การแสดงออกของ COX-2 ใน RAW 264.7 macrophage cell line ถูกกระตุ้นด้วย แอนติเจนที่สกัดจากพยาธิ OV (A) immunofluorescence ย้อมด้วย anti-COX-2 antibody และ (B) Western blotting of COX-2 เปรียบเทียบกับ tubulin

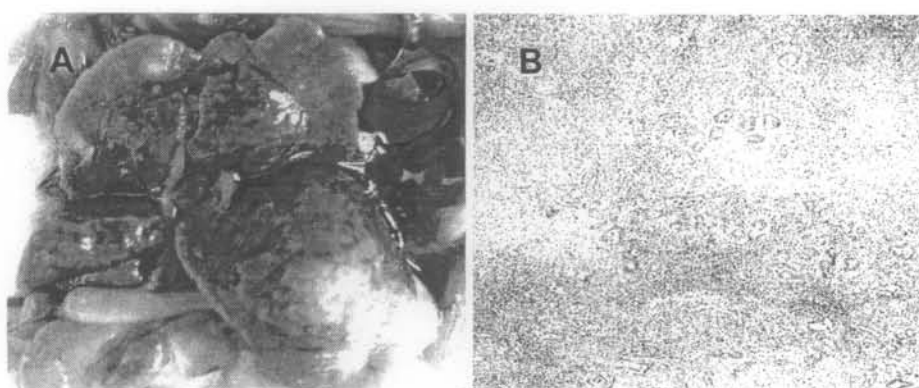


รูปภาพที่ 4 สรุปกลไกที่อาจเป็นไปได้ของการกระตุ้นด้วยแอนติเจนของพยาธิ OV ต่อการตอบสนองต่อกระบวนการอักเสบ

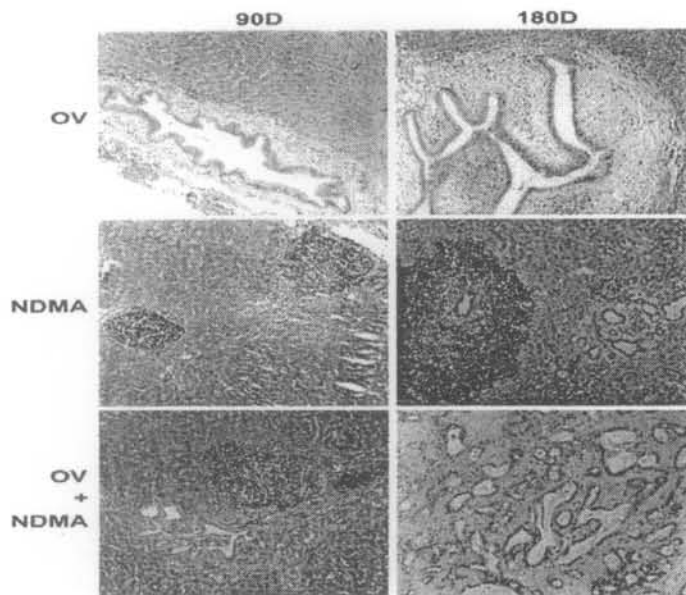
## 2. ผลการศึกษาในสัตว์ทดลอง ที่ให้พยาธิ OV ร่วมกับสารก่อมะเร็ง NDMA

ในหมูแฮมสเตอร์ที่ป้อนด้วยพยาธิ OV ร่วมกับสารก่อมะเร็ง NDMA จะเห็นได้ว่าทำให้หมูเป็นมะเร็งท่อน้ำดี ผลการตรวจทางพยาธิอิสโตร์พบว่าการติดพยาธิ OV อย่างเดียวเห็นได้ไม่ชัดเจนเมื่อเทียบกับการติดพยาธิ OV ร่วมกับสารก่อมะเร็ง NDMA และ OV เสริมฤทธิ์ทำให้เกิดท่อน้ำดีขนาดเล็กและมะเร็งท่อน้ำดีที่ 6 เดือน ผลการตรวจโดยวิธี RT-PCR และ real-Time RT-PCR พบว่า OV ร่วมกับสารก่อมะเร็ง NDMA เสริมฤทธิ์เพิ่มการแสดงออกของจีน iNOS, NF- $\kappa$ B และ COX-2 สัมพันธ์กับกระบวนการเกิดมะเร็งท่อน้ำดี การแสดงออกจีน antioxidant enzymes เช่น Cu/Zn superoxide dismutase (SOD1), Mn SOD (SOD2), catalase (CAT) และ glutathione peroxidase (GPx) ลดลงในขณะที่การแสดงออกของ iNOS และ COX-2 เพิ่มขึ้น แนะนำว่าเกิดภาวะ oxidative และ nitrative stress การสะสมของ Proliferative cell nuclear antigen (PCNA) ตัวบ่งชี้ของการแบ่งตัวของเซลล์ ในเยื่อบุผิวท่อน้ำดีและในเซลล์อักเสบสัมพันธ์ กับการแสดงออกของจีนเหล่านี้ ผลการศึกษานี้แนะนำว่าการแสดงออกของ iNOS, NF- $\kappa$ B และ COX-2 เกี่ยวข้องกับผลของการเสริมฤทธิ์กันของสารก่อมะเร็ง NDMA และการติดพยาธิ OV ตั้งนั้นจีนเหล่านี้และผลผลิตของจีน อาจเป็นประโยชน์เพื่อใช้เป็นตัวบ่งชี้ภาวะเสี่ยงการเป็นมะเร็ง และอาจเป็นจีนเป้าหมายในการใช้สารป้องกันการเกิดมะเร็งต่อไป

### 2.1 ผลการศึกษาทางพยาธิวิทยา

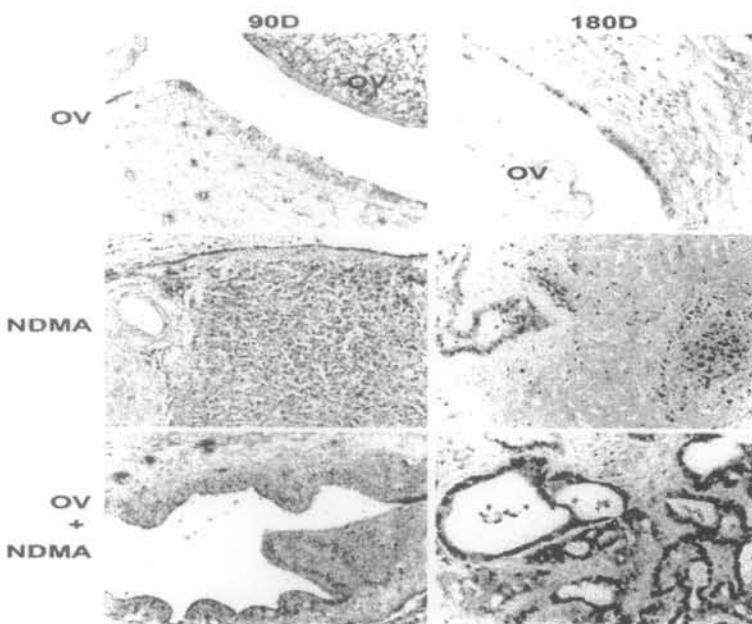


รูปภาพที่ 5 แสดงมะเร็งท่อน้ำดีในหมูแฮมสเตอร์ ที่ได้รับพยาธิในไม้ดับ OV และสารก่อมะเร็ง ในเดือนที่ 6 (A) เป็นภาพที่มองด้วยตา (B) ภาพถ่ายจากการย้อมสี hematoxylin และ eosin



รูปภาพที่ 6 แสดงพยาธิอีสโตร์ในตับหนูแมมสเดอร์ที่ดิดพยาธิใบไม้ตับ OV หรือ สารก่อมะเริง (NDMA) เพียงอย่างเดียว และ OV + NDMA ในวันที่ 90 วัน และวันที่ 180 พบว่า หนูที่ให้พยาธิ OV + NDMA จะเป็นมะเริงท่อน้ำดี

## 2.2 ผลการแสดงออกของ Proliferative cell nuclear antigen (PCNA) ด้วยวิธี immunohistochemistry

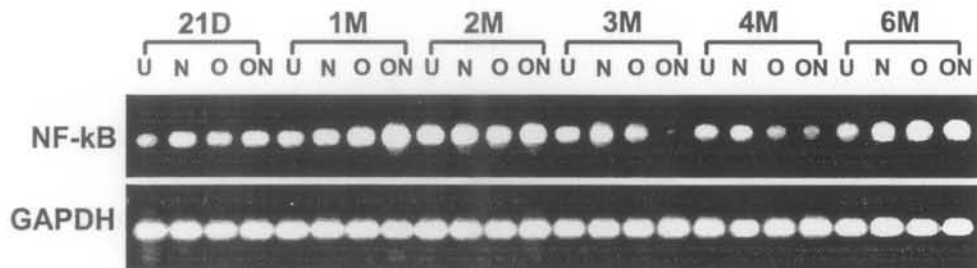


OV = *O. viverrini*, D = day

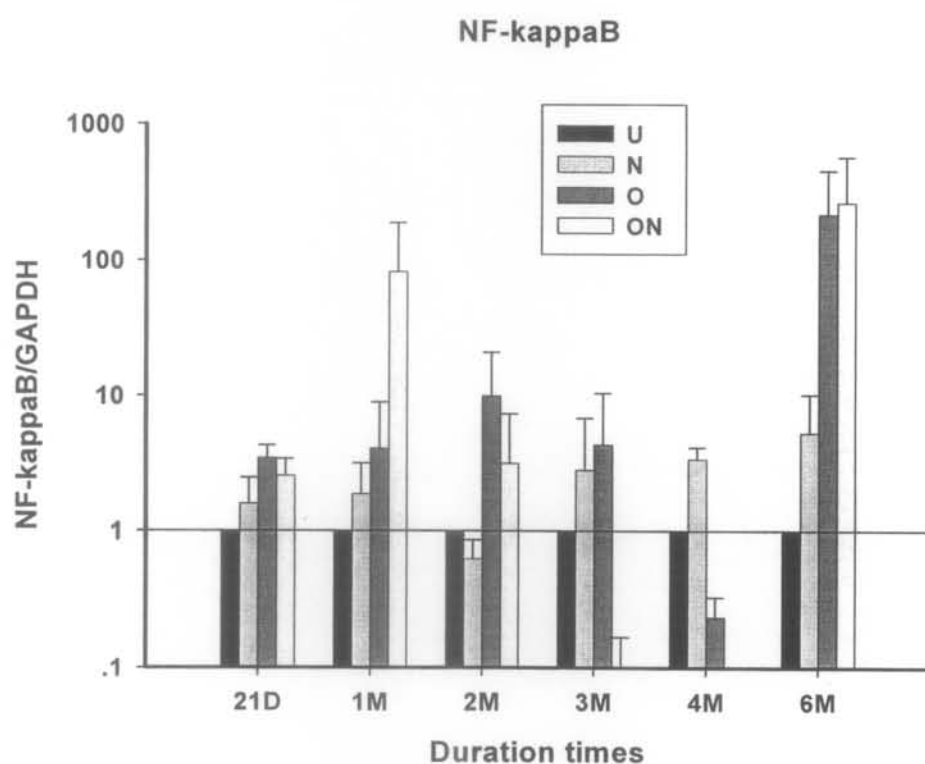
รูปภาพที่ 7 การแสดงออกของ PCNA ในตับหนูแมมสเดอร์ที่ดิดพยาธิใบไม้ตับ OV และใน มะเริงท่อน้ำดี ในวันที่ 90 และวันที่ 180 (เดือนที่ 6) โดยย้อมด้วย anti-PCNA antibody พบว่า PCNA แสดงออกมากที่สุดในเนื้อมะเริงท่อน้ำดี

2.3 การแสดงออกในระดับ mRNA ของจีน iNOS, NF- $\kappa$ B, COX-2 และ antioxidant enzymes ในตับหนูแฮมสเตอร์ที่ติดพยาธิใบไม้ดับ OV และสารก่อมะเร็ง NDMA โดยเทคนิค RT-PCR และ real-time RT-PCR

A)



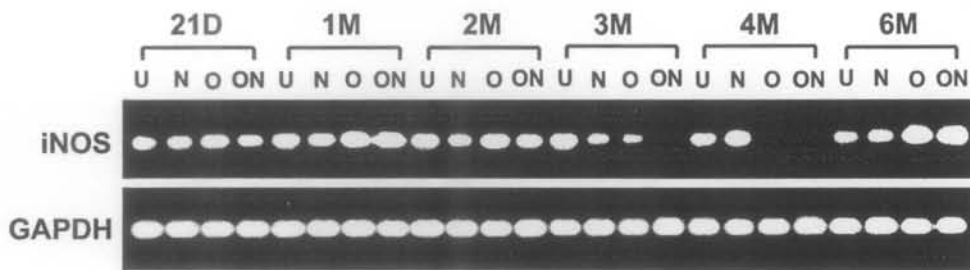
B)



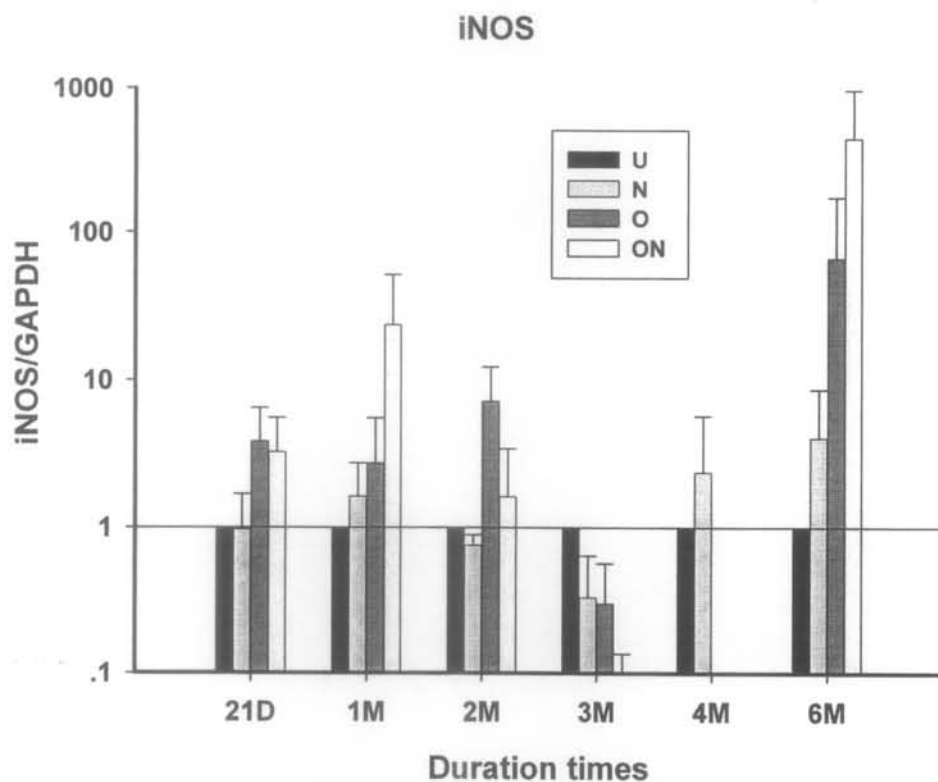
U = normal hamster, N = NDMA, O = *O. viverrini*, ON = *O. viverrini* + NDMA, D = day, M = month

รูปภาพที่ 8 การแสดงออกของจีน NF- $\kappa$ B ในตับหนูแฮมสเตอร์ที่ติดพยาธิใบไม้ดับ OV และในมะเร็งท่อน้ำดี โดยวิธี real-time RT-PCR (A) แยกใน 2% agarose gel electrophoresis (B) ระดับการแสดงออกของจีน NF- $\kappa$ B เปรียบเทียบกับ GAPDH โดยคำนวณการแสดงออกแบบ Ct method จากหนู 3 ตัว และการทดลองทำซ้ำ 2 ครั้ง การแสดงออกของจีน NF- $\kappa$ B สูงที่สุดในหนูกลุ่มที่ให้พยาธิ OV + NDMA โดยเฉพาะเดือนที่ 1 และ 6

A)

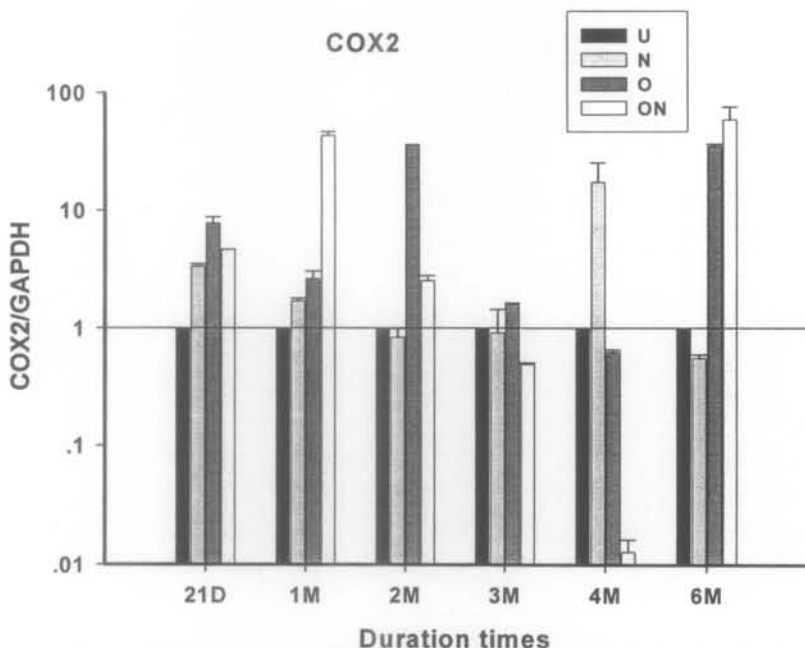


B)

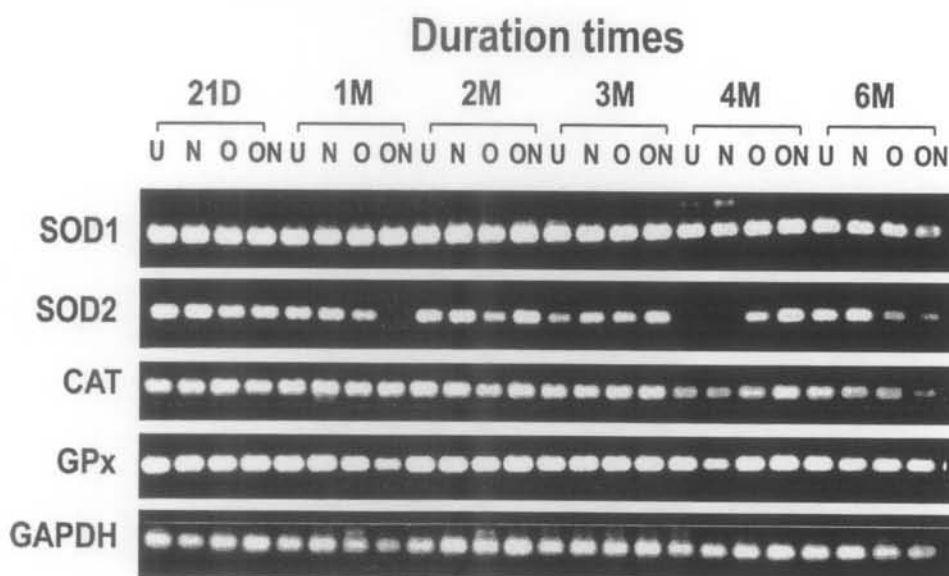


U= normal hamster, N = NDMA, O = O. viverrini, ON = O. viverrini + NDMA, D = day, M = month

รูปภาพที่ 9 การแสดงออกของจีน iNOS ในตับหนูแมมสเตอร์ที่ดิดพยาธิใบไม้ดับ OV และในมะเร็งท่อน้ำดี โดยวิธี real-time RT-PCR (A) ผลการแยกใน 2% agarose gel electrophoresis (B) ระดับการแสดงออกของจีน iNOS เปรียบเทียบกับ GAPDH โดยคำนวณการแสดงออกแบบ Ct method จากหุ่น 3 ตัว และการทดลองทำซ้ำ 2 ครั้ง การแสดงออกของจีน iNOS สูงที่สุดในหุ่นกลุ่มที่ให้พยาธิ OV + NDMA โดยเฉพาะเดือนที่ 1 และ 6



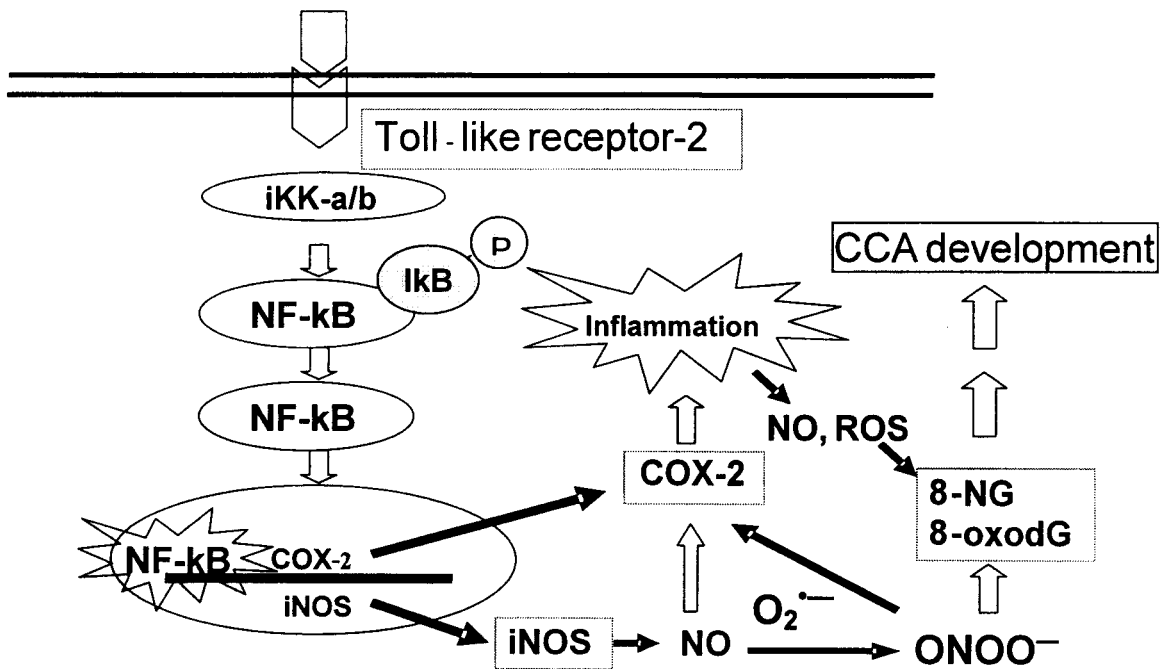
U = normal hamster, N = NDMA, O = *O. viverrini*, ON = *O. viverrini* + NDMA, D = day, M = month  
**รูปภาพที่ 10** การแสดงออกของจีน COX-2 ในตับหนูและสเตอร์ที่ดิดพยาธิใบไม้ดับ OV และใน  
 มะเร็งท่อน้ำดี โดยวิธี real-time RT-PCR ระดับการแสดงออกของจีน COX-2  
 เปรียบเทียบกับ GAPDH โดยคำนวณการแสดงออกแบบ Ct method จากหนู 3 ตัว และ  
 การทดลองทำซ้ำ 2 ครั้ง การแสดงออกของจีน COX-2 สูงที่สุดในหนูกลุ่มที่ให้พยาธิ OV +  
 NDMA โดยเฉพาะเดือนที่ 1 และ 6



U = normal hamster, N = NDMA, O = *O. viverrini*, ON = *O. viverrini* + NDMA, D = day, M = month

**รูปภาพที่ 11** การแสดงออกของจีน SOD1, SOD2, CAT, GPx ในตับหนูและสเตอร์ที่ดิดพยาธิ  
 ใบไม้ดับ OV และในมะเร็งท่อน้ำดี โดยวิธี RT-PCR เปรียบเทียบกับ GAPDH โดยแยกใน  
 2% agarose gel electrophoresis จากหนู 3 ตัว และการทดลองทำซ้ำ 2 ครั้ง การ  
 แสดงออกของจีนเหล่านี้ต่ำที่สุดในหนูกลุ่มที่ให้พยาธิ OV + NDMA โดยเฉพาะเดือนที่ 6

## OV antigen



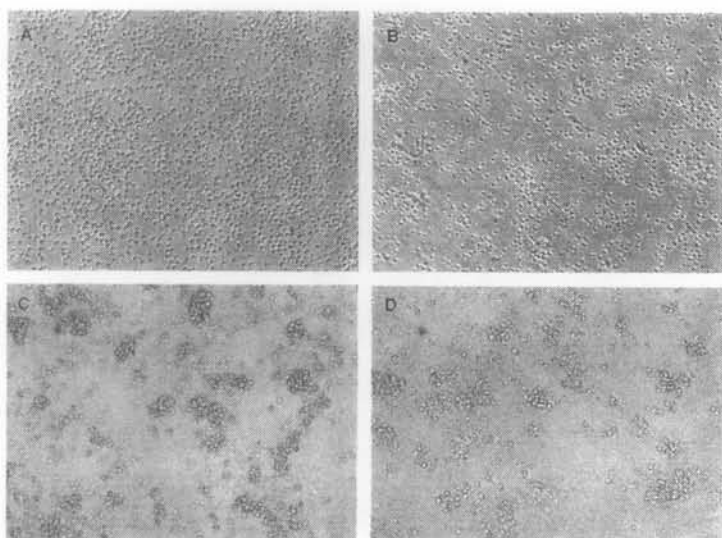
8-NG = 8-nitroguanine, 8-oxodG = 8-oxo-7,8-dihydro-2'-deoxyguanosine

รูปภาพที่ 12 สรุปกลไกการเกิดมะเร็งท่อน้ำดีที่อาจเป็นไปได้ในหนูเอมสเดอร์ที่ติดพยาธิในแมลง OV และได้รับสารก่อมะเร็ง NDMA ผ่านการแสดงออกของจีน NF-κB, iNOS และ COX-2

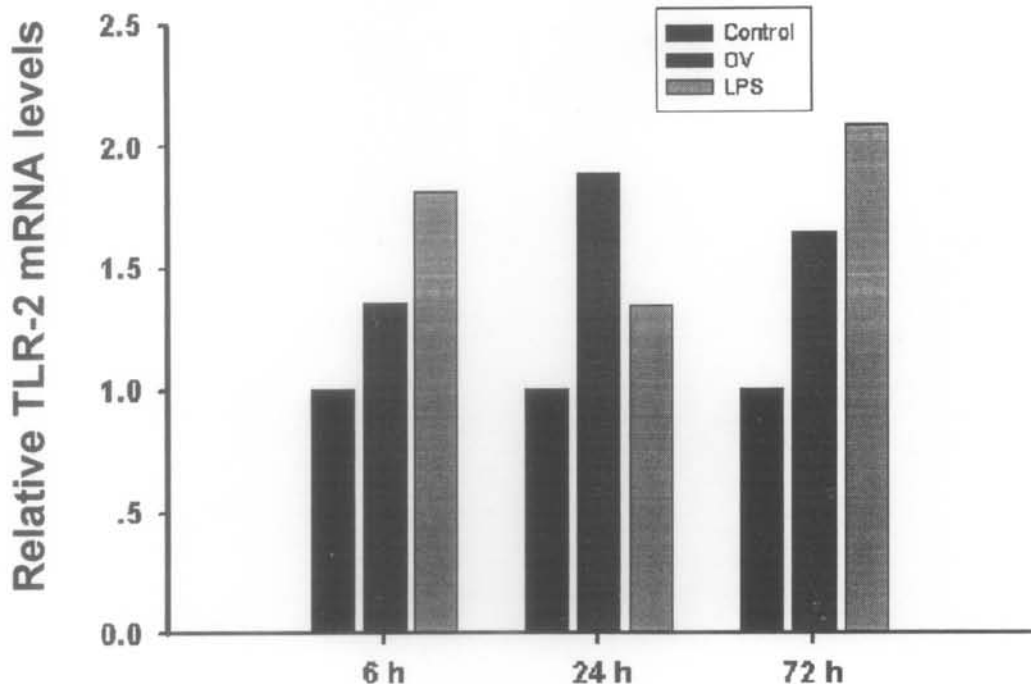
### 3) การศึกษาในเซลล์เม็ดเลือดขาวของคนที่ติดพยาธิในไม้ตัน OV ที่ถูกกระตุ้นด้วยแอนติเจนที่สกัดจากพยาธิ OV

ในเซลล์เม็ดเลือดขาวของคนที่ติดพยาธิ OV ถูกกระตุ้นด้วยแอนติเจนที่สกัดจากพยาธิ OV เปรียบเทียบกับคนปกติ ผลการตรวจโดยวิธี real-time RT-PCR พบว่าแอนติเจน OV เหนี่ยวน้ำ การแสดงออกของจีน IL-1, TLR-2, NF- $\kappa$ B, COX-2, SOD2 และ CAT ในเซลล์เม็ดเลือดขาวของคนปกติ การแสดงออกของจีน IL-1, NF- $\kappa$ B, SOD2 เพิ่มขึ้นในระยะแรกที่ 6 ชั่วโมง หลังจากนั้น การแสดงออกของ TLR-2, COX-2 และ CAT เพิ่มขึ้นที่ 12 ชั่วโมงหลังการกระตุ้นด้วยแอนติเจนที่สกัดจากพยาธิ OV อัตราส่วนของการแสดงออกในระดับ mRNA ของ COX-2/CAT, prooxidant/antioxidant เพิ่ม 12 และ 26 เท่าเปรียบเทียบกับกลุ่มควบคุมของเซลล์ที่ไม่ได้ถูกกระตุ้น ในเซลล์เม็ดเลือดขาวของคนที่ติดพยาธิ OV และกระตุ้นด้วยแอนติเจนที่สกัดจากพยาธิ OV พบร่วมกับการแสดงออกของยีนเหล่านี้คล้ายกับในคนปกติ ยกเว้นการแสดงออกของจีน TLR-2 เพิ่มขึ้นในระยะแรกที่ 6 ชั่วโมง หลังการกระตุ้นด้วยแอนติเจนที่สกัดจากพยาธิ OV นำเสนอเป็นอย่างยิ่งว่าอัตราส่วนของการแสดงออกในระดับ mRNA ของ COX-2/CAT เพิ่มเป็น 140, 90, 30, และ 40 เท่าเปรียบเทียบกับกลุ่มควบคุม และสูงกว่าในคนปกติอย่างมีนัยสำคัญ ผลการศึกษานี้แนะนำว่าแอนติเจนของพยาธิ OV เหนี่ยวน้ำภาวะออกซิเดทิฟสเตรสมีผ่านการตอบสนองต่อกระบวนการอักเสบ ซึ่งอาจนำไปใช้สารป้องกันการเกิดมะเร็งในการติดพยาธิ OV ที่สัมพันธ์กับมะเร็งท่อน้ำดี

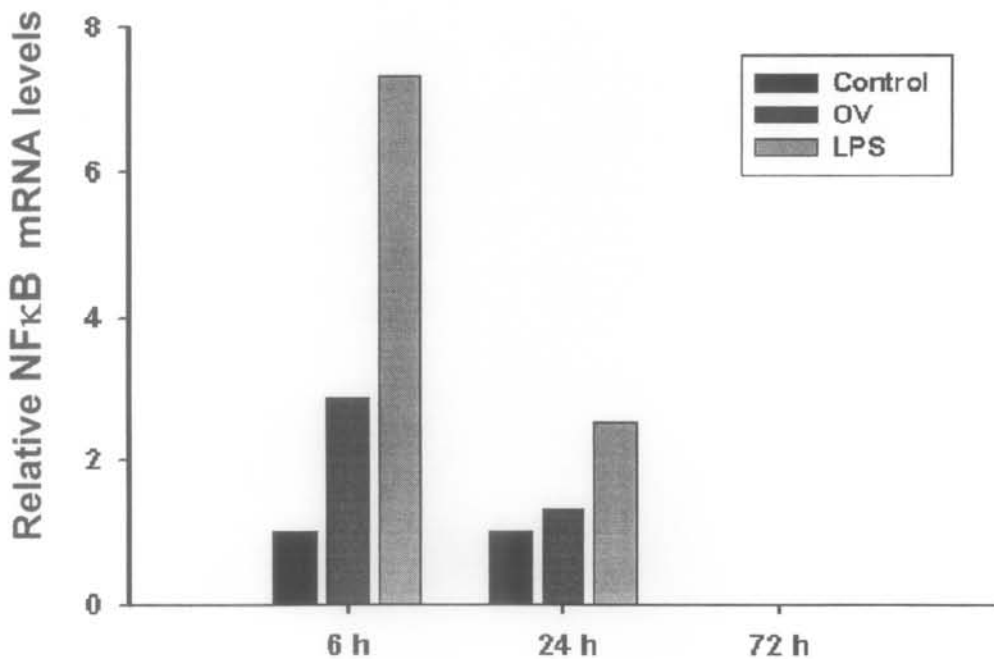
#### 3.1 แสดงการหาภาวะที่เหมาะสมในการเพาะเลี้ยงเซลล์เม็ดเลือดขาว และกระตุ้นด้วยแอนติเจนของพยาธิในไม้ตัน OV



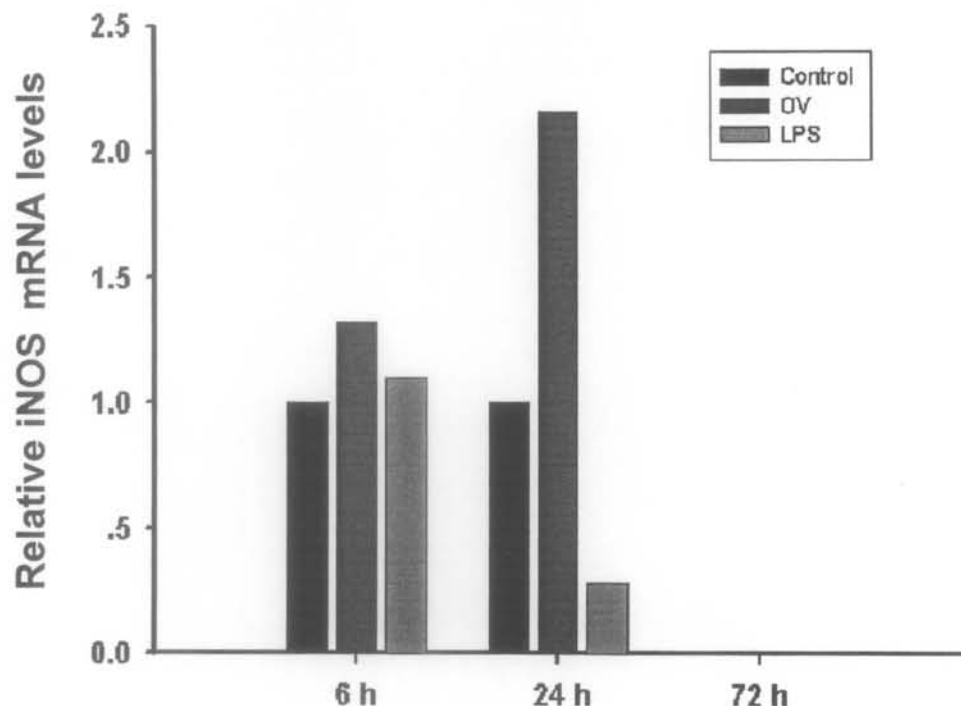
**รูปภาพที่ 13** แสดงรูปร่างของเซลล์เม็ดเลือดขาวที่เพาะเลี้ยงในอาหารเลี้ยงเซลล์ RPMI-1640 + 20%FCS (A) เซลล์ที่กระตุ้นด้วย OV crude extract เป็นเวลา 24 ชั่วโมง ไม่ใส่ OV-antigens และ LPS กระตุ้น (B) กระตุ้นด้วย 100 ug/ml of OV-crude extract (C) และกระตุ้นด้วย 10 ug/ml LPS (D)



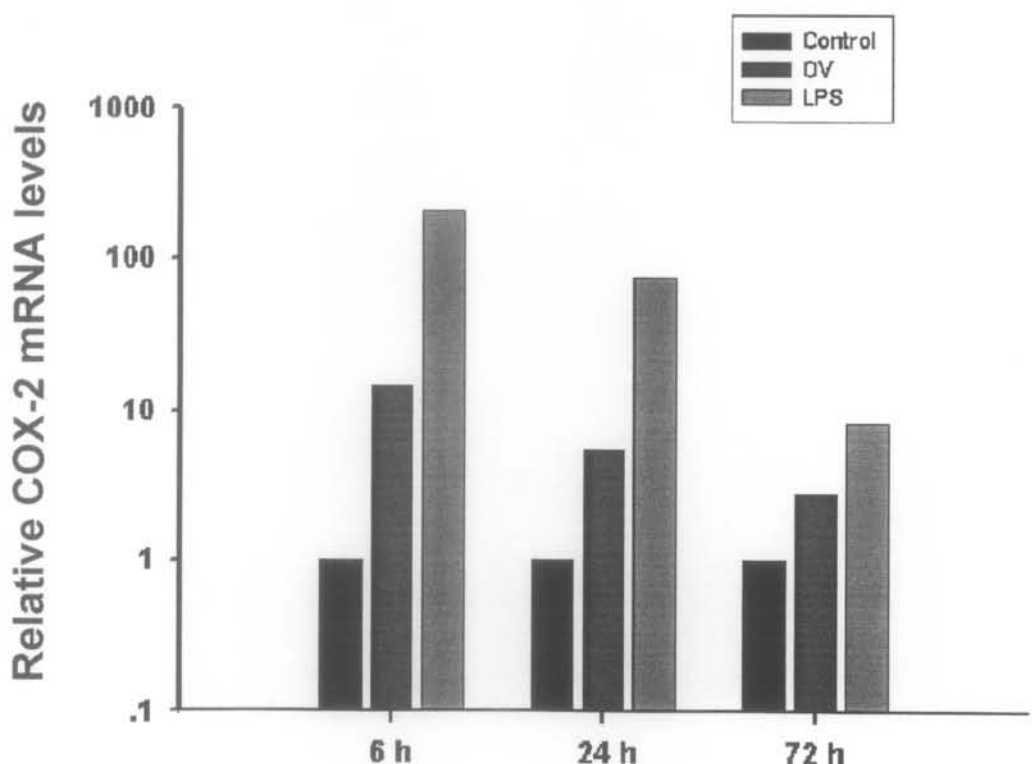
รูปภาพที่ 14 การแสดงออกของจีน TLR-2 ในเซลล์เม็ดเลือดขาวที่เพาะเลี้ยงและถูกกระตุ้นด้วย แอนติเจนของพยาธิใบไม้ดับ OV ที่เวลา 6, 24 และ 72 ชั่วโมง เปรียบเทียบกับ GAPDH ตรวจโดยวิธี real-time RT-PCR analysis



รูปภาพที่ 15 การแสดงออกของจีน NF- $\kappa$ B ในเซลล์เม็ดเลือดขาวที่เพาะเลี้ยงและถูกกระตุ้นด้วย แอนติเจนของพยาธิใบไม้ดับ ที่เวลา 6, 24 และ 72 ชั่วโมง เปรียบเทียบกับ GAPDH ตรวจโดยวิธี real-time RT-PCR analysis



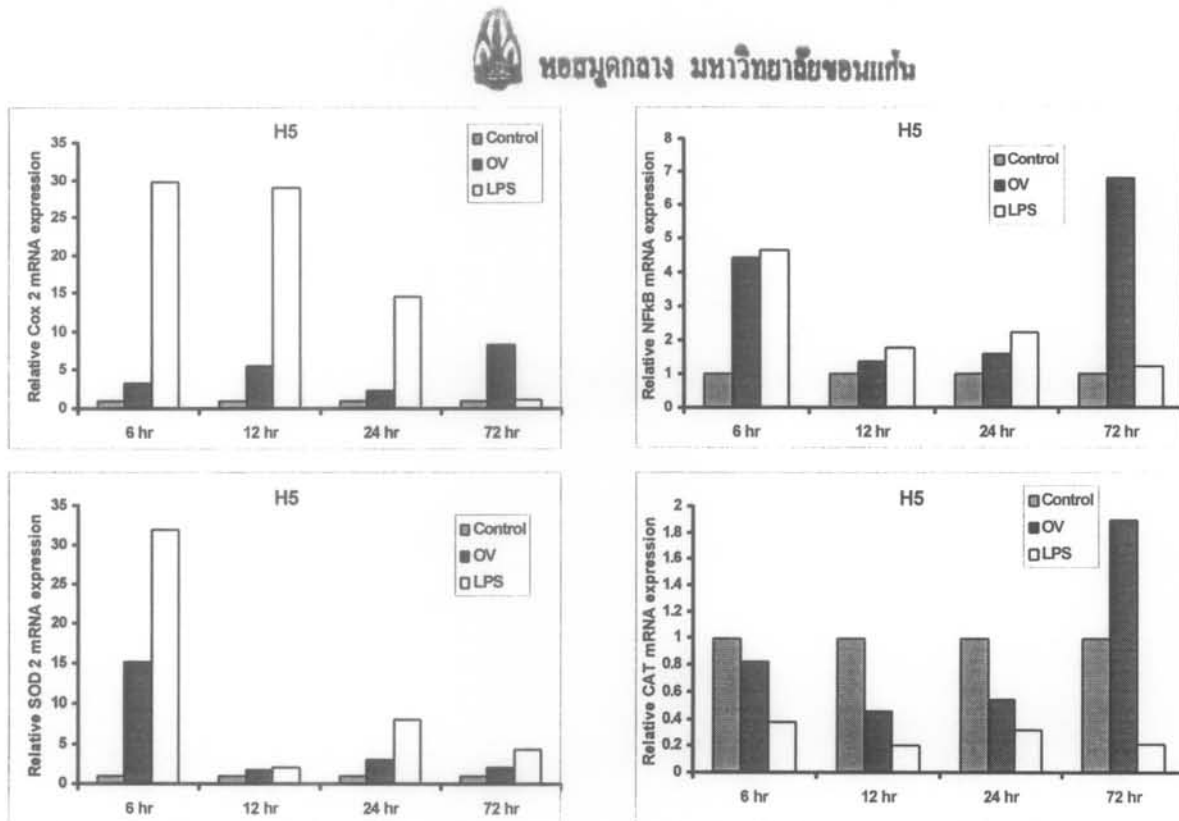
รูปภาพที่ 16 การแสดงออกของจีน iNOS ในเซลล์เม็ดเลือดขาวที่เพาะเลี้ยงและถูกกระตุ้นด้วย แอนติเจนของพยาธิใบไม้ดับ ที่เวลา 6, 24 และ 72 ชั่วโมง เปรียบเทียบกับ GAPDH



รูปภาพที่ 17 การแสดงออกของจีน COX-2 ในเซลล์เม็ดเลือดขาวที่เพาะเลี้ยงและถูกกระตุ้นด้วย แอนติเจนของพยาธิใบไม้ดับ ที่เวลา 6, 24 และ 72 ชั่วโมง เปรียบเทียบกับ GAPDH

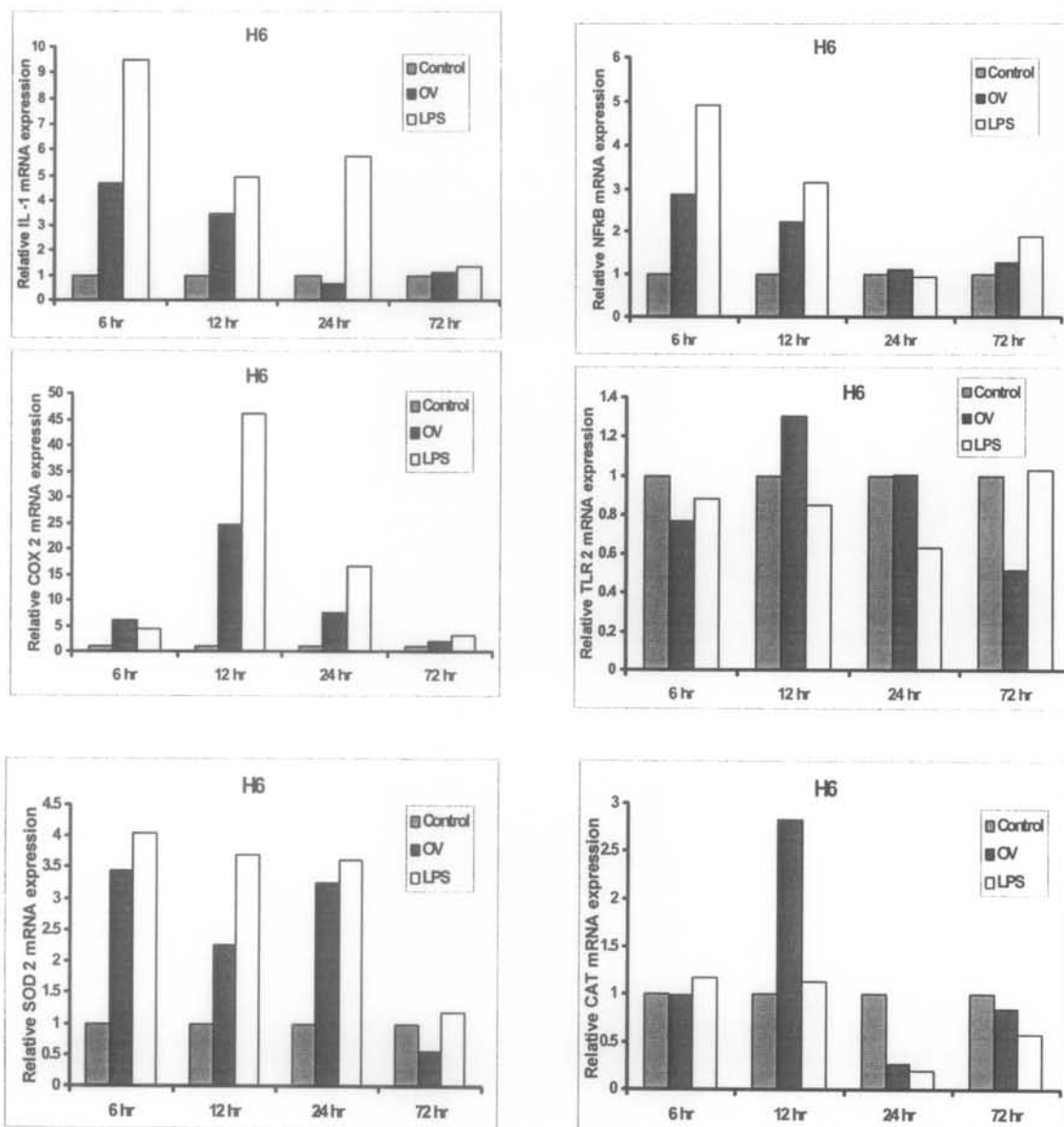
### 3.2 การแสดงออกของจีน TLR2, COX2, NF-**KB**, SOD2, CAT และ IL-1 ในเซลล์เม็ดเลือดขาวเมื่อกระตุ้นด้วย OV crude antigens ตรวจโดยวิธี real-time RT-PCR

**3.2.1 ในคนปกติ** เมื่อกระตุ้นเซลล์เม็ดเลือดขาวของคนปกติด้วยสารสกัดจากตัวเดิมวัยของพยาธิใบไม้ตับ (OV crude antigens) ความเข้มข้น 100 ug/ml พบร้า OV crude antigens กระตุ้นให้เกิดการแสดงออกของจีนที่เกี่ยวข้องกับกระบวนการอักเสบและกระบวนการสร้างสารอนุมูลอิสระเพิ่มมากขึ้นเมื่อเทียบกับเซลล์เม็ดเลือดขาวที่ไม่ได้รับการกระตุ้น ผ่านการแสดงออกของจีนต่างๆ ดังต่อไปนี้ IL-1 เป็น inflammatory cytokine ที่จะกระตุ้นให้เกิดกระบวนการอักเสบรวมถึง TLR2, NFkB และ COX2 ซึ่งเป็นจีนที่เกี่ยวข้องกับกระบวนการสร้างอนุมูลอิสระอย่างไรก็ตามเมื่อทำการตรวจวัดปริมาณของการแสดงออกของจีน SOD2 และ CAT ซึ่งเป็นจีนที่เกี่ยวข้องกับกระบวนการการด้านอนุมูลอิสระ พบร้า OV crude antigens สามารถกระตุ้นให้เกิดการแสดงออกของจีนกลุ่มนี้เช่นเดียวกัน การแสดงออกของจีนแต่ละจีนจะมีรูปแบบแผนของการแสดงออกที่แตกต่างกัน แต่เมื่อพิจารณาถึงสมดุลของระบบ oxidant/anti-oxidant ในการทดลองนี้ใช้ค่า Relative COX2/CAT mRNA expression เป็นตัวบ่งชี้สมดุลดังกล่าว พบร้าสัดส่วนการแสดงออกของจีนที่เกี่ยวข้องกับการสร้างสารอนุมูลอิสระมีมากกว่าสารด้านอนุมูลอิสระ แสดงให้เห็นว่า OV crude antigens สามารถกระตุ้นให้เกิดภาวะ oxidative stress จากการเสียสมดุลซึ่งส่งผลให้มีเห็นได้ชัดเจนจากการแสดงออกของจีนที่เกี่ยวข้องกับระบบ oxidant มากกว่าระบบ antioxidant นอกจากนี้แล้วจากการทดลองพบว่า รูปแบบของภาวะ oxidative stress ในเม็ดเลือดขาวนั้นจะค่อยๆสูงขึ้นเมื่อถูกกระตุ้นด้วย OV crude antigens และสูงสุดที่ 12-24 ชั่วโมงหลังการกระตุ้น จากนั้นภาวะ oxidative stress จะค่อยๆลดต่ำลงซึ่งอาจจะเป็นผลมาจากการกระบวนการ cell repairing ผ่านการแสดงออกของจีน SOD2 และ CAT โดยที่การกระตุ้น oxidative stress นั้นน่าจะเป็นผลมาจากการกระตุ้นผ่านทาง TH1 cytokine คือ IFN- $\gamma$  จากนั้นกระตุ้นให้เกิดกระบวนการอักเสบผ่านการแสดงออกของยีน IL1 ถึงอย่างไรก็ตามภาวะ oxidative stress ที่เกิดขึ้นนั้นไม่รุนแรงเมื่อเทียบกับคนไข้ที่ติดพยาธิใบไม้ตับ

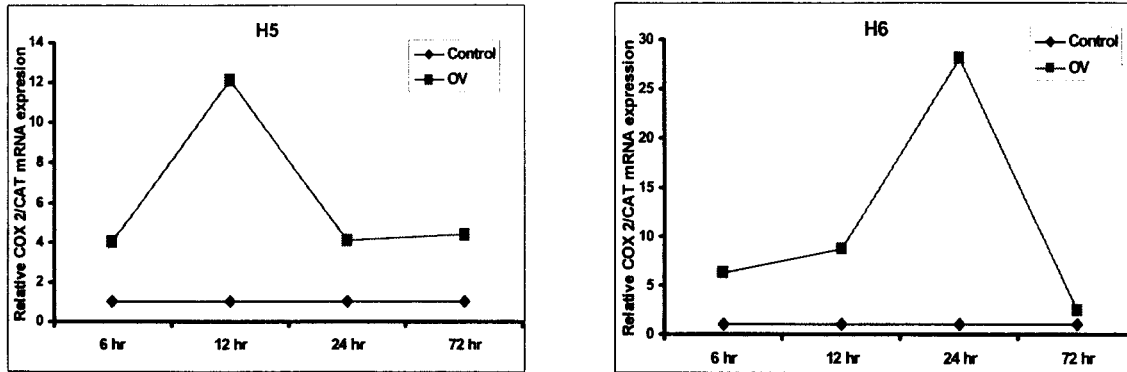


รูปภาพที่ 18 แสดง Relative mRNA expression ของจีน COX2, NF-kB, SOD และ CAT ในเม็ดเลือดขาวของคนปกติที่ถูกกระตุ้นด้วย OV crude antigens ในเวลาต่างๆ กัน ของคนปกติอาสาสมัครชายเลข H5, Control: เม็ดเลือดขาวที่เพาะเลี้ยงในอาหาร RPMI-1640 ที่มี 20% fetal calf serum gold และ 1% penicillin+streptomycin, OV: เม็ดเลือดขาวที่เพาะเลี้ยงในอาหาร RPMI-1640 ที่มี 20% fetal calf serum gold และ 1% penicillin+streptomycin ร่วมกับ 100 ug/ml ของ OV crude antigens, LPS: เม็ดเลือดขาวที่เพาะเลี้ยงในอาหาร RPMI-1640 ที่มี 20% fetal calf serum gold และ 1% penicillin+streptomycin ร่วมกับ 1ug/ml ของ lipopolysacaride (LPS) ในการทดลองนี้ใช้เป็น positive control ผลการแสดงออกของจีนคำนวณแบบ relative Ct method เปรียบเทียบกับ GAPDH การแสดงออกของจีน NF-kB และ COX2 แสดงออกตั้งแต่ 6-72 ชั่วโมง และสูงสุดที่ 72 ชั่วโมง ส่วนการแสดงออกของจีน SOD2 และ CAT เพิ่มขึ้นตั้งแต่ 6-72 ชั่วโมง และสูงสุดที่ 6 และ 72 ชั่วโมง ตามลำดับ

Q9  
QH  
44°  
N239

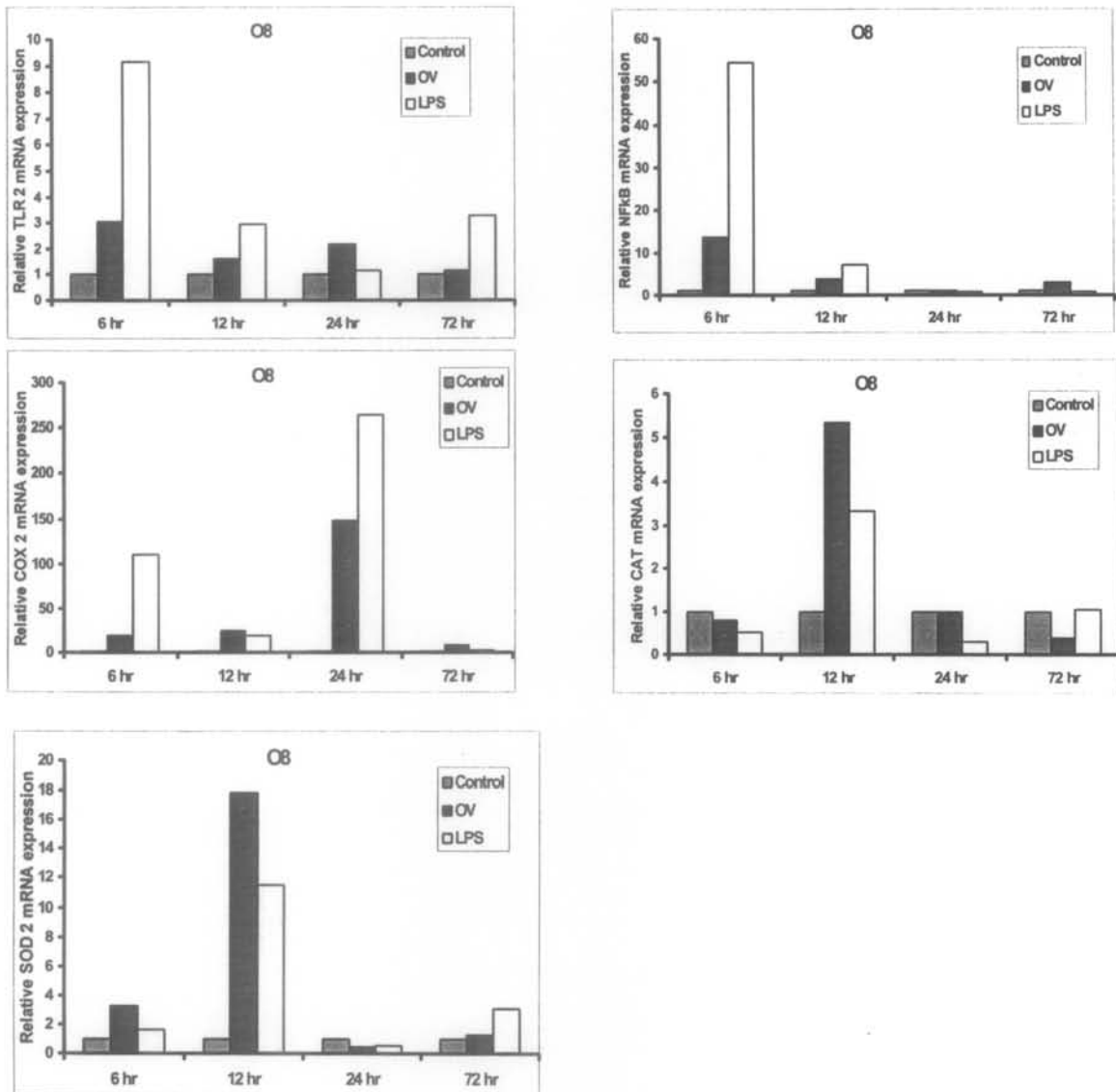


รูปภาพที่ 19 แสดง Relative mRNA expression ของยีน IL-1, COX2, TLR2, NF-kB, SOD และ CAT ในเม็ดเลือดขาวของคนปกติที่ถูกกระตุ้นด้วย OV crude antigens ในเวลาต่างๆ กัน ของคนปกติอาสาสมัครหมายเลข H6 ภาวะการเพาะเลี้ยงเซลล์ของ control, OV และ LPS และการคำนวณเหมือนกับคำอธิบายในรูปภาพที่ 18 ผลการแสดงออกของ IL-1 และ NF-kB นั้นถูกกระตุ้นให้แสดงออกสูงสุดที่ 6 ชั่วโมง การแสดงออกของยีน COX2 และ TLR2 สูงสุดที่ 12 ชั่วโมง ส่วนการแสดงออกของยีน SOD2 สูงสุดที่ 6 ชั่วโมง แต่ถูกยับยั้งที่ 72 ชั่วโมงหลังการกระตุ้น การแสดงออกของยีน CAT สูงสุดที่ 12 ชั่วโมง แต่ถูกยับยั้งการ แสดงออกที่ 24 และ 72 ชั่วโมง

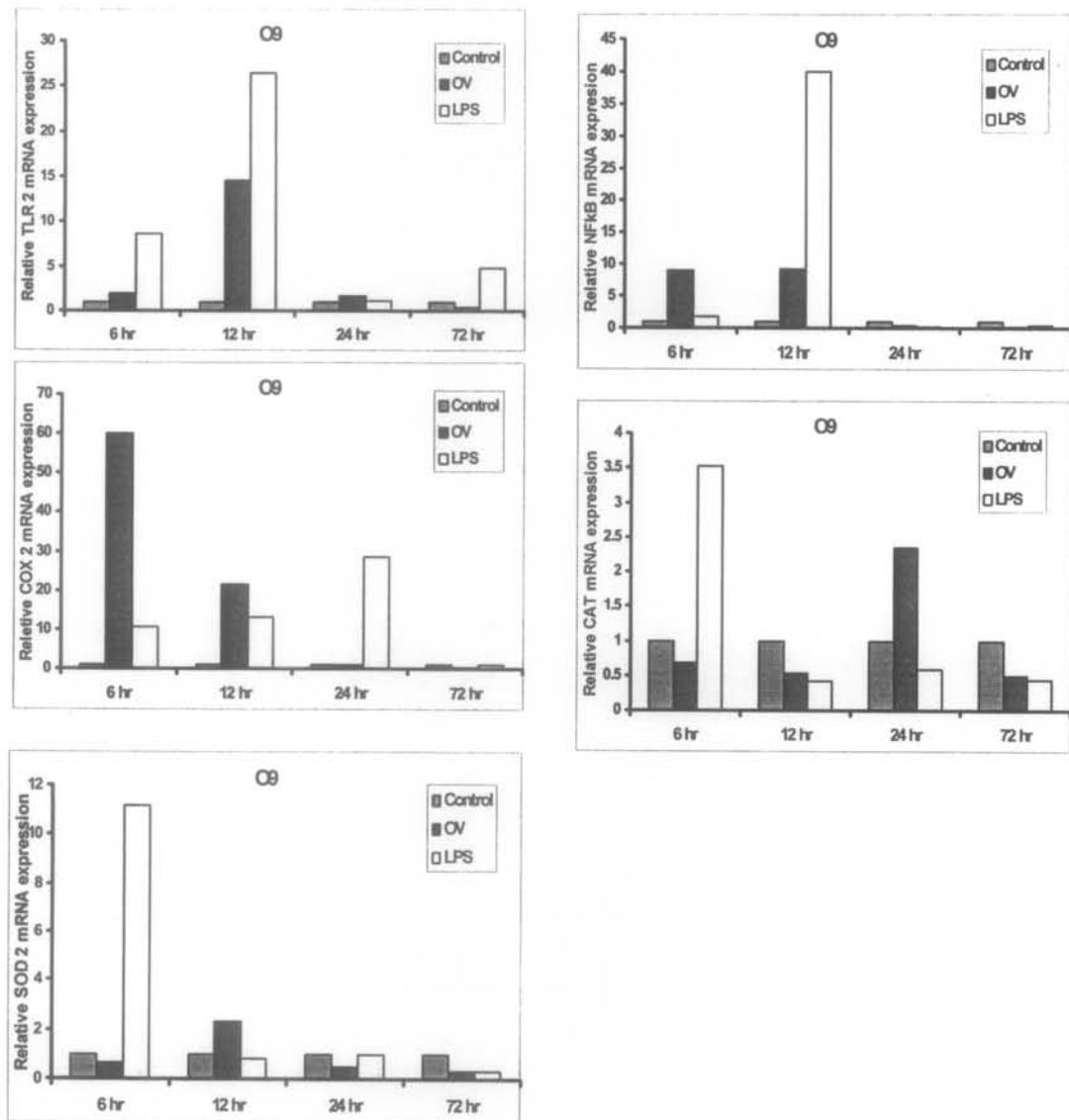


รูปภาพที่ 20 แสดงแบบแผนของการตอบสนองของ Relative COX2/CAT mRNA expression ตัวบ่งชี้ภาวะ oxidative stress ในอาสาสมัครคนปกติหมายเลข H5 และ H6 ที่ถูกกระตุ้นด้วย OV crude antigens พบว่า อัตราส่วนของการแสดงออกในระดับ mRNA ของ COX-2/CAT, prooxidant/antioxidant เพิ่ม 12 และ 26 เท่า เมื่อเทียบกับกลุ่มควบคุมของเซลล์ที่ไม่ได้ถูกกระตุ้น โดยพบว่าเวลา 12 และ 24 ชั่วโมงหลังการกระตุ้นตามลำดับ

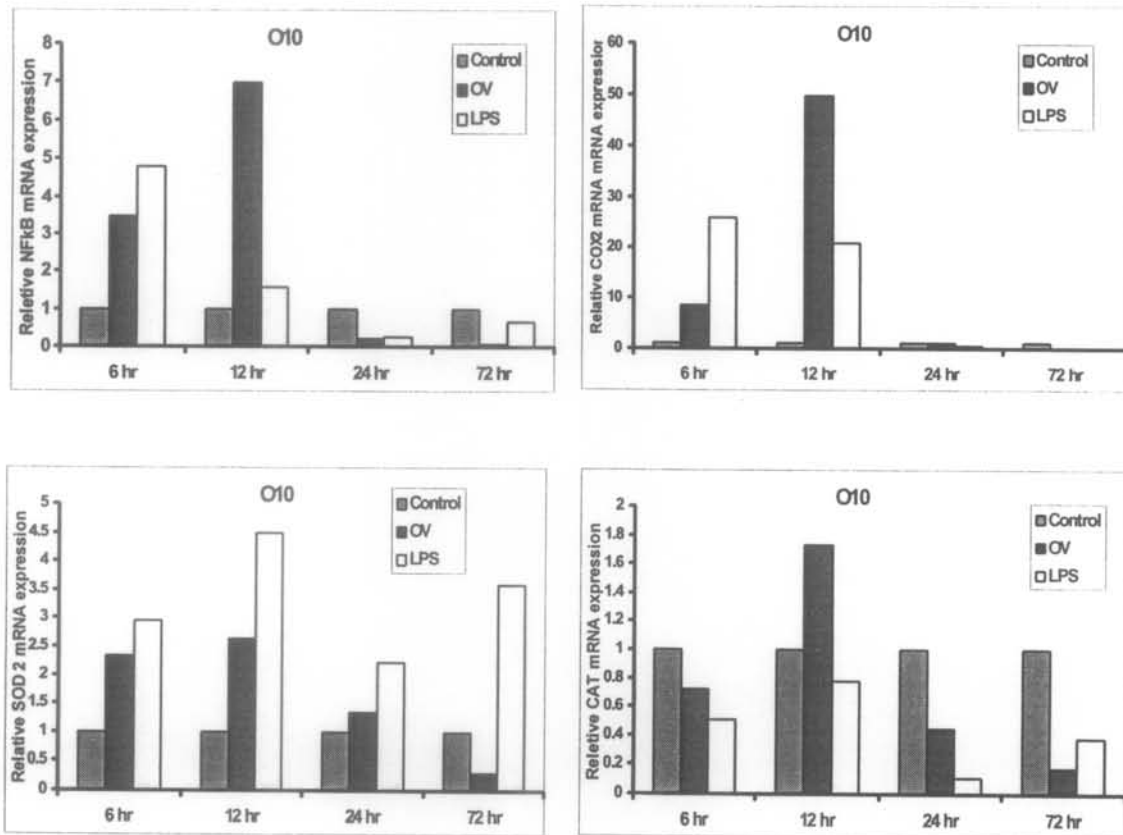
**3.2.2 ในคนที่ติดพยาธิในไม้ดับ OV เมื่อกระตุ้นเซลล์เม็ดเลือดขาวของคนที่ติดพยาธิในไม้ดับด้วยสารสกัดจากตัวเดิมวัยของพยาธิในไม้ดับ (OV crude antigens) ความเข้มข้น 100 ug/ml พบว่า OV crude antigens กระตุ้นให้เกิดการแสดงออกของจีนที่เกี่ยวข้องกับกระบวนการอักเสบและกระบวนการสร้างสารอนุมูลอิสระเพิ่มมากขึ้นเมื่อเทียบกับเซลล์เม็ดเลือดขาวที่ไม่ได้รับการกระตุ้น ผ่านการแสดงออกของจีนต่างๆ ดังต่อไปนี้ IL-1, TLR2, NFkB และ COX2 ซึ่งเป็นจีนที่เกี่ยวข้องกับกระบวนการสร้างอนุมูลอิสระ อย่างไรก็ตามเมื่อทำการตรวจปริมาณของการแสดงออกของจีน SOD2 และ CAT ซึ่งเป็นจีนที่เกี่ยวข้องกับกระบวนการต้านอนุมูลอิสระ พบว่า OV crude antigens สามารถกระตุ้นให้เกิดการแสดงออกของจีนกลุ่มนี้เช่นเดียวกัน โดยแบบแผนของการแสดงออกของจีนเหล่านี้คล้ายกับในคนปกติ แต่เมื่อพิจารณาถึงสมดุลของระบบ oxidant/anti-oxidant ในภาระด่องนี้ใช้ค่า Relative COX2/CAT mRNA expression พบว่ามีสัดส่วนเพิ่มเป็น 140, 90, 30, และ 40 เท่าเมื่อเทียบกับกลุ่มควบคุม และสูงกว่าในคนปกติอย่างมีนัยสำคัญ นอกจากนี้ยังพบว่าความเร็วของการตอบสนองในแต่ละคนแตกต่างกัน ทั้งนี้อาจเป็นเพราระบบภูมิคุ้มกันของแต่ละบุคคลแตกต่างกัน**



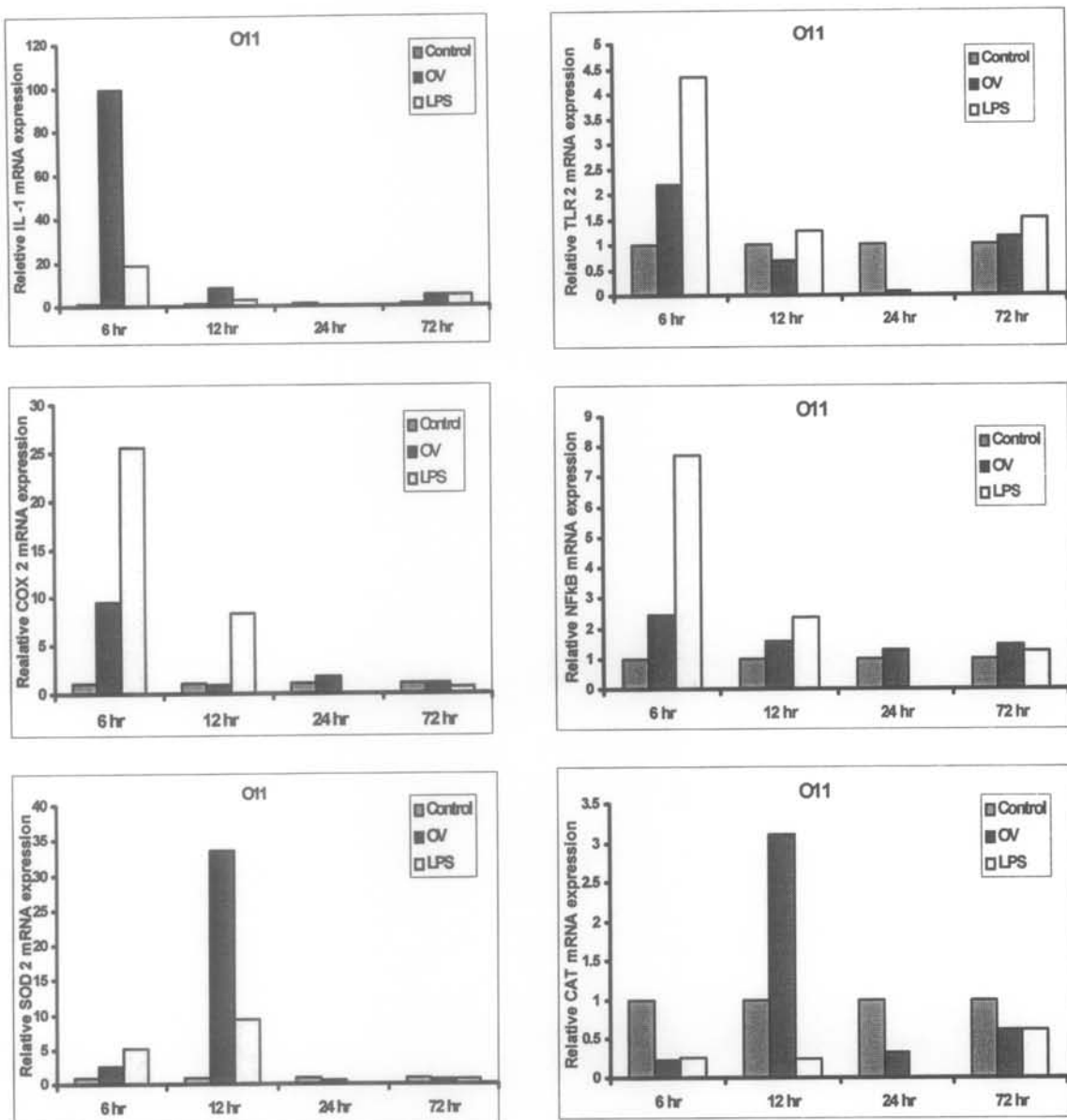
รูปภาพที่ 21 แสดง Relative mRNA expression ของยีน TLR2, NF- $\kappa$ B COX2 , SOD2 และ CAT ในเม็ดเลือดขาวของคนที่ติดพาร์บิโนเม็ดับ OV ถูกกระตุ้นด้วย OV crude antigens ในเวลาต่างๆกัน ในอาสาสมัครหมายเลข O8 ภาระการเพาะเลี้ยงเซลล์ของ control, OV และ LPS และการคำนวณเหมือนกับคำอธิบายในรูปภาพที่ 18 การแสดงออกของยีน TLR2 และ NF- $\kappa$ B สูงสุดที่ 6 ชั่วโมง การแสดงออกของยีน SOD2 และ CAT สูงสุดที่ 12 ชั่วโมง และการแสดงออกของยีน COX-2 สูงสุดที่ 24 ชั่วโมง นอกจากนี้ยังพบว่า การแสดงออกของยีน CAT ถูกยับยั้งที่ 72 ชั่วโมง



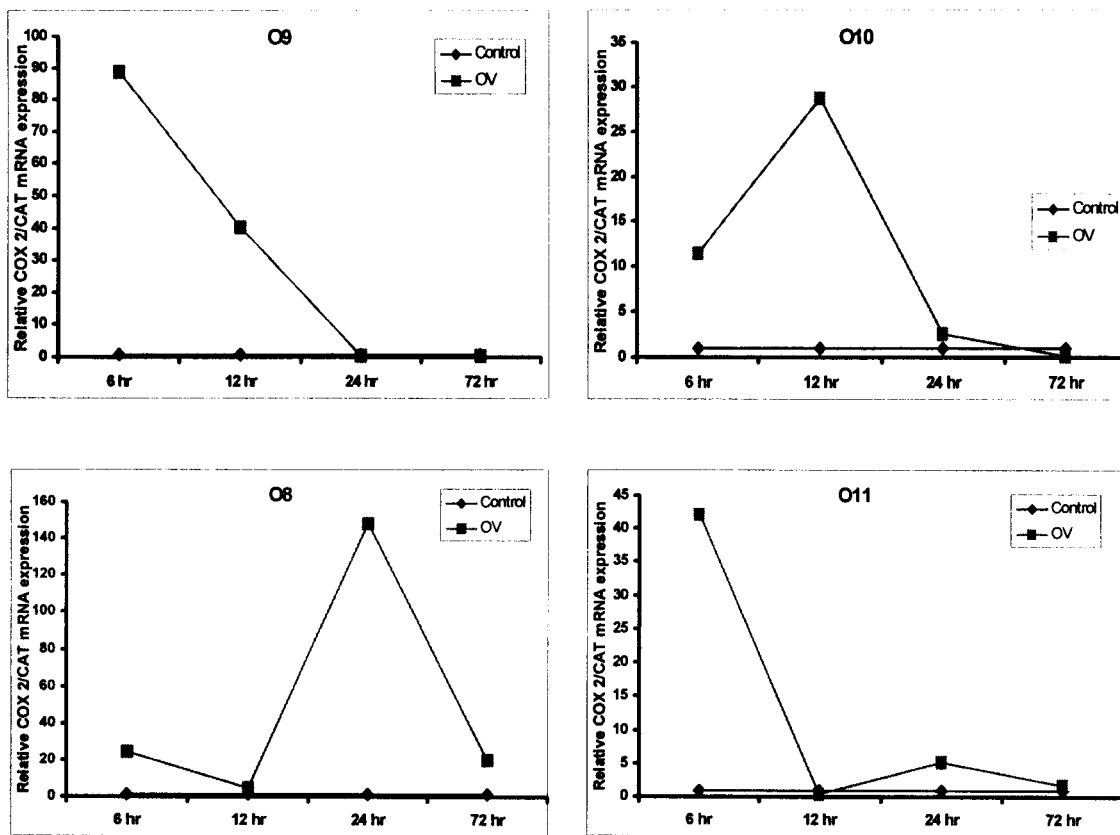
รูปภาพที่ 22 แสดง Relative mRNA expression ของจีน TLR2, NFkB COX2 , SOD และ CAT ในเม็ดเลือดขาวของคนที่ติดพาร์บีไม้ดับ OV ถูกกระตุ้นด้วย OV crude antigens ในเวลาต่างๆ กัน ของอาสาสมัครชายเลข O9 ภาวะการเพาะเลี้ยงเซลล์ของ control, OV และ LPS และการคำนวณเหมือนกับค่าอธินายในรูปภาพที่ 18 พนบว่าการแสดงออกของ จีนเหล่านี้มีทั้งแสดงออกเพิ่มสูงขึ้น และถูกยับยั้งการแสดงออกในเวลาที่แตกต่างกัน



รูปภาพที่ 23 แสดง Relative mRNA expression ของยีน NF- $\kappa$ B, COX2 , SOD และ CAT ในเม็ดเลือดขาวของคนที่ติดพาร์บิโนเม็ดดับ OV ถูกกระตุ้นด้วย OV crude antigens ในเวลาต่างๆกัน ของอาสาสมัครหมายเลข O10 ภาวะการเพาะเลี้ยงเซลล์ของ control, OV และ LPS และการคำนวณเหมือนกับคำอธิบายในรูปภาพที่ 18 การแสดงออกของจีนพบว่าการแสดงออกของยีน NF- $\kappa$ B, COX-2 และ SOD2 นั้นถูกกระตุ้นให้แสดงออกสูงขึ้นดังต่อไปนี้ ชั่วโมงแรก และระดับสูงสุดที่ 12 ชั่วโมง ส่วนที่ 72 ชั่วโมง การแสดงออกจะต่ำกว่ากลุ่มควบคุม การแสดงออกของยีน CAT นั้นถูกกระตุ้นสูงสุดที่ 12 ชั่วโมง ส่วนที่เวลาอื่นพบว่ามีการแสดงออกต่ำกว่ากลุ่มควบคุม



รูปภาพที่ 24 แสดง Relative mRNA expression ของจีน TLR2, NF- $\kappa$ B, COX2 , SOD และ CAT ในเม็ดเลือดขาวของคนที่ติดพาร์วิโน่ไม้ดับ OV ถูกกระตุ้นด้วย OV crude antigens ในเวลาต่างๆ กัน ของอาสาสมัครหมายเลข O11 ภาวะการเพาะเลี้ยงเซลล์ของ control, OV และ LPS และการคำนวณเหมือนกับค่าอธินายในรูปภาพที่ 18 พบว่าการแสดงออกของจีน IL-1, TLR-2, COX-2 และ NF- $\kappa$ B แสดงออกสูงสุดที่ 6 ชั่วโมง ส่วนการแสดงออกของ SOD2 และ CAT สูงสุดที่ 12 ชั่วโมง และต่ำกว่ากันถ้วนคุณที่เวลา 24-72 ชั่วโมง หลังการกระตุ้นด้วย OV crude antigens



รูปภาพที่ 25 แสดงรูปแบบของการตอบสนองของ Relative COX2/CAT mRNA expression ตัวบ่งชี้ภาวะ oxidative stress ในอาสาสมัครคนที่ได้พยาธิใบไม้ดับ OV ถูกกระตุ้นด้วย OV crude antigens ในเวลาต่างๆ กัน พนว่าแต่ละคนมีความเร็วและแบบแผนของ การตอบสนองแตกต่างกัน และมีระดับของอัตราส่วนสูงมากเป็น 90, 30, 140 และ 40 เท่า เปรียบเทียบกับกลุ่มควบคุม

## Output ที่ได้จากการวิจัย

โครงการวิจัยนี้นอกจากจะสามารถตีพิมพ์ผลงานวิจัยในการสารวิชาการระดับนานาชาติแล้ว ยังเป็นการพัฒนาผู้วิจัยรุ่นทุน และสามารถผลิตนักวิจัยหน้าใหม่ได้ดังนี้

1. เป็นการส่งเสริมการวิจัยแก่นักวิจัยผู้รับทุน ให้สามารถผลิตผลงานวิจัยอย่างต่อเนื่องหลังจากจบการศึกษาในระดับปริญญาเอก และเป็นการพัฒนาผู้รับทุนเองโดยสามารถเป็นอาจารย์ที่ปรึกษาหลักแก่นักศึกษาในระดับบัณฑิตศึกษา จนกระทั่งสามารถผลิตนักวิจัยหน้าใหม่ให้สำเร็จการศึกษาในระดับปริญญาโทสาขาปรสิตวิทยา จำนวน 2 คน นอกจากนี้ยังเป็นอาจารย์ที่ปรึกษาร่วมแก่นักศึกษาในระดับปริญญาเอกสาขาชีวเคมีอีกจำนวน 3 คน และปัจจุบันเป็นอาจารย์ที่ปรึกษาหลักของนักศึกษาในระดับปริญญาเอกสาขาปรสิตวิทยา จำนวน 1 คน และคาดว่าในปีการศึกษาใหม่นี้จะมีนักศึกษาในระดับปริญญาโท สาขาปรสิตวิทยา อีกจำนวน 1 คน

### 2. ผลิตนักวิจัยหน้าใหม่

โครงการวิจัยนี้สามารถผลิตนักวิจัยหน้าใหม่ ภายใต้โครงการคปภ.สาขาวิชามีทางการแพทย์ คณะแพทยศาสตร์ มหาวิทยาลัยขอนแก่น ของ รศ.ดร.พวงรัตน์ ยงวนิชย์ ซึ่งเป็น mentor แก่ผู้วิจัย จำนวน 2 คน คือ

1.1 การศึกษาในสัตว์ทดลองเป็นส่วนหนึ่งในวิทยานิพนธ์ของนางสาวสมศิด เดชะคำภู ปัจจุบันกำลังศึกษาในระดับปริญญาเอก ชั้นปีที่ 4

1.2 การศึกษาในคนเป็นส่วนหนึ่งในวิทยานิพนธ์ของนางสาวเรณุ ทานันท์ ปัจจุบันกำลังศึกษาในระดับปริญญาเอก ชั้นปีที่ 5 และคาดว่าจะสำเร็จการศึกษาในปีการศึกษานี้ ประมาณเดือนเมษายน 2551

### 3. ได้อย่างไรใหม่

- ได้อย่างไรในการตอบสนองของเซลล์อักเสบต่อแอนติเจนของพยาธิในไม้ดัน OV ผ่านกระบวนการอักเสบและมีการสร้างอนุมูลอิสระในติริกออกไซด์ ไปทำลายสารชีวโมเลกุลและก่อพยาธิสภาพของโรคตามมา ผ่านการแสดงออกของจีน TLR2, NF-kB แล้วมีการแสดงออกของ iNOS และ COX2

- ได้ทราบถึงบทบาทของจีน iNOS, COX-2, NF-kB, SOD1, SOD2, GPx และ CAT ในกระบวนการก่อมะเร็งท่อน้ำดีที่เกิดจากพยาธิในไม้ดันผ่านกระบวนการอักเสบ ซึ่งข้อมูลนี้จะได้นำมาทดลองหาสารเพื่อนำมาป้องกันมะเร็งท่อน้ำดีต่อไป

### 4. ผลงานวิจัยสามารถตีพิมพ์ในวารสารวิชาการระดับนานาชาติ

4.1 ตีพิมพ์เผยแพร่ไปแล้ว 1 เรื่อง

Pinlaor, S., Tada-Oikawa, S., Hiraku, Y., Pinlaor, P., Ma, N., Sithithaworn, P., and Kawanishi, S. (2005). *Opisthorchis viverrini* antigen induces the expression of Toll-like receptor 2 in macrophage RAW cell line. *Int J Parasitol* 35(6), 591-6.

#### 4.2 คาดว่าจะตีพิมพ์เผยแพร่อีก 2 เรื่อง

1. Synergistic effect of *Opisthorchis viverrini* infection and *N-nitrosodimethylamine* on the expression of iNOS, NF-kappaB and COX-2 in an animal model of cholangiocarcinoma. โดยจะส่งไปตีพิมพ์ที่ *Carcinogenesis* หรือ *Cancer Science*
2. Induction of mRNA expression involving in oxidative and nitritative stress in white blood cells co-cultured with *Opisthorchis viverrini* antigen คาดว่าจะส่งไปตีพิมพ์ที่: *Int J Parasitol*

#### 5. กิจกรรมอื่น ๆ ที่เกี่ยวข้อง ได้แก่

ผลงานอื่น ๆ เช่นการไปเสนอผลงาน การได้รับเชิญไปเป็นวิทยากร

1. นำเสนอผลการวิจัยแบบโปสเตอร์ในการประชุมเพื่อเสนอผลงานวิจัยของนักวิจัยรุ่นใหม่ และพบกับเมริวิจัยอาวุโส สกว. เมื่อเดือนตุลาคม 2549 เรื่อง “Synergistic effect of *Opisthorchis viverrini* infection and *N-nitrosodimethylamine* on the expression of iNOS, NF-kappaB and COX-2 in an animal model of cholangiocarcinoma” โดย Somchai Pinlaor et, al.
2. นำเสนอผลการวิจัยแบบโปสเตอร์ในการประชุมระดับนานาชาติ APOCP ที่กรุงเทพฯเมื่อวันที่ 3-4 พฤษภาคม 2549 นี้เรื่อง “induction of mRNA expression involving in oxidative and nitritative stress in white blood cells co-cultured with *Opisthorchis viverrini* crude extract” โดย Raynoo Thanan et, al. และได้รับรางวัลชนะเลิศของการประกวดผลงานในการนำเสนอแบบโปสเตอร์

3. ผู้วิจัยเป็นวิทยากรในการประชุมอบรมเชิงปฏิบัติการปรสิตวิทยาครั้งที่ 3-4 ในวันที่ 3-4 พฤษภาคม 2550 และวันที่ 17-18 พฤษภาคม 2550 นี้ ที่คณะแพทยศาสตร์มหาวิทยาลัยขอนแก่น โดยเป็นวิทยากรในหัวข้อเรื่อง “กลไกการเกิดมะเร็งท่อน้ำดีจากการติดพยาธิในไม้ต้น: จากอดีตจนถึงปัจจุบัน”

4. ผู้วิจัยใช้เป็นข้อมูลประกอบการเรียนการสอนในระดับบัณฑิตศึกษา แก่นักศึกษาระดับปริญญาโท-เอกสาขาปรสิตวิทยา

- รหัส 364 702 วิชา Advanced Parasitology ในหัวข้อ กลไกการเกิดมะเร็งท่อน้ำดี บรรยายจำนวน 2 ชั่วโมง
- รหัส 364 703 วิชา Experimental Parasitology ในหัวข้อ การเพาะเลี้ยงพยาธิในไม้และประโยชน์การนำมาใช้ บรรยายจำนวน 1 ชั่วโมง ปฏิบัติการ 12 ชั่วโมง